

Vorlesung Algorithmische Kartografie

Vereinfachung von Kantenzügen und Unterteilungen

LEHRSTUHL FÜR ALGORITHMIK I · INSTITUT FÜR THEORETISCHE INFORMATIK · FAKULTÄT FÜR INFORMATIK

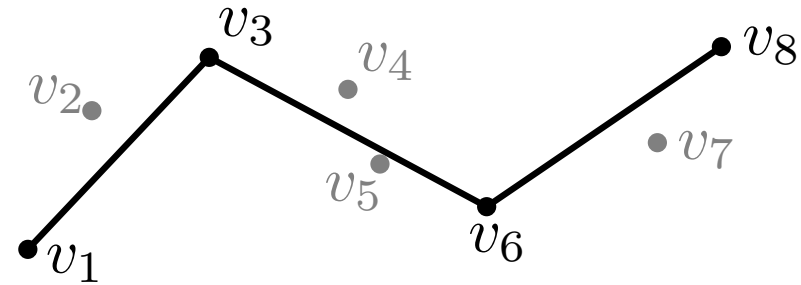
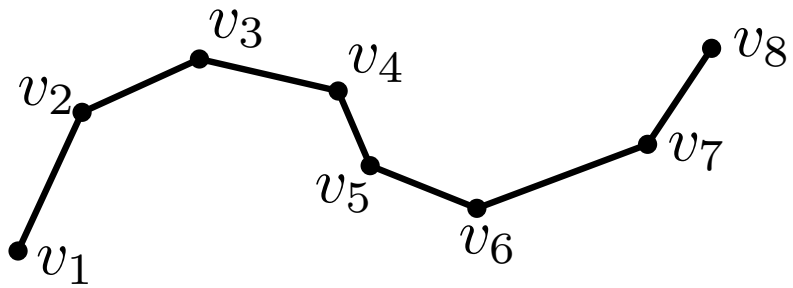
Martin Nöllenburg
23.04.2013



Wiederholung: Linienvereinfachung

geg: Polygonzug $P = (v_1, v_2, \dots, v_n)$

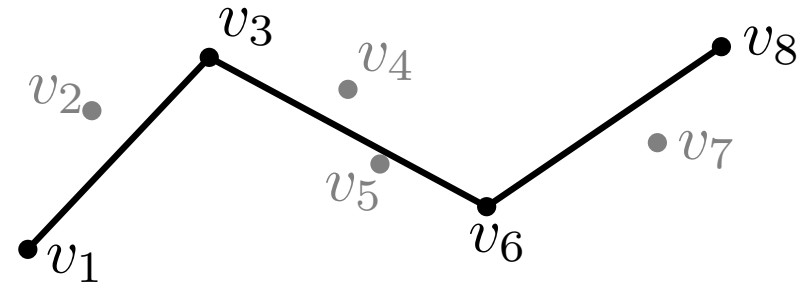
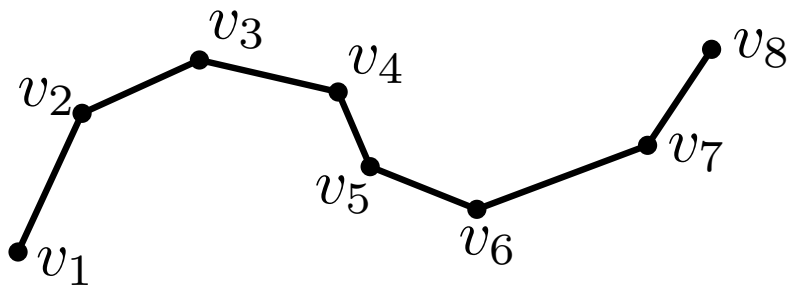
ges: Polygonzug $Q = (v_1 = v_{i_1}, v_{i_2}, v_{i_3}, \dots, v_{i_k} = v_n)$ mit $i_1 < i_2 < \dots < i_k$, so dass Q eine gute Approximation von P und k möglichst klein ist



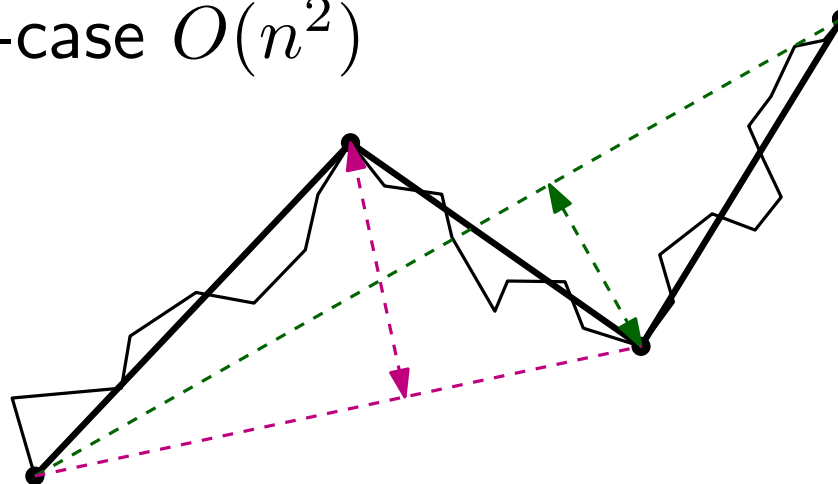
Wiederholung: Linienvereinfachung

geg: Polygonzug $P = (v_1, v_2, \dots, v_n)$

ges: Polygonzug $Q = (v_1 = v_{i_1}, v_{i_2}, v_{i_3}, \dots, v_{i_k} = v_n)$ mit $i_1 < i_2 < \dots < i_k$, so dass Q eine gute Approximation von P und k möglichst klein ist



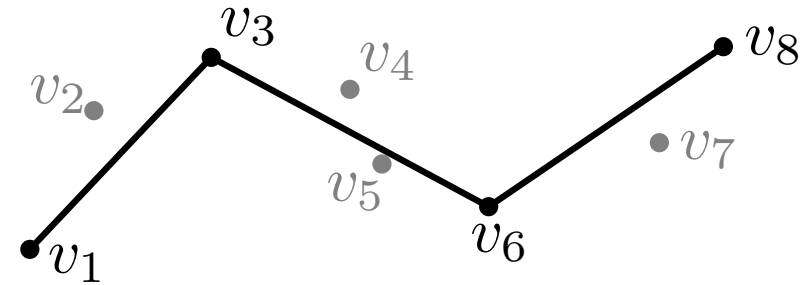
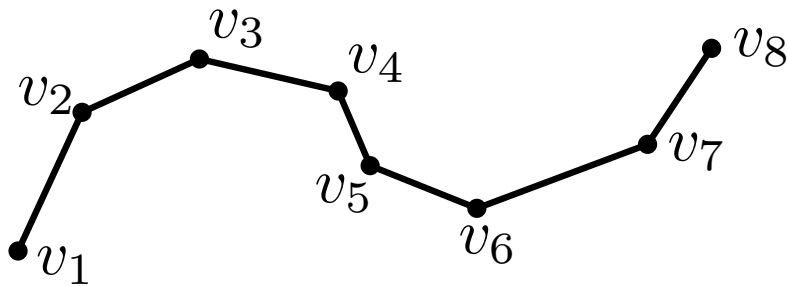
- einfacher rekursiver Douglas-Peucker Algorithmus, Laufzeit worst-case $O(n^2)$



Wiederholung: Linienvereinfachung

geg: Polygonzug $P = (v_1, v_2, \dots, v_n)$

ges: Polygonzug $Q = (v_1 = v_{i_1}, v_{i_2}, v_{i_3}, \dots, v_{i_k} = v_n)$ mit $i_1 < i_2 < \dots < i_k$, so dass Q eine gute Approximation von P und k möglichst klein ist

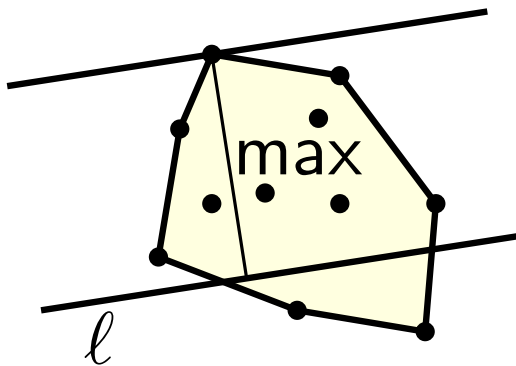


- einfacher rekursiver Douglas-Peucker Algorithmus, Laufzeit worst-case $O(n^2)$
 - schnellerer Algorithmus von Hershberger and Snoeyink, der Bestimmung der weitesten Punkte beschleunigt
- restlicher Beweis: heute

Beschleunigung des DP-Algorithmus

[Hershberger, Snoeyink '92]

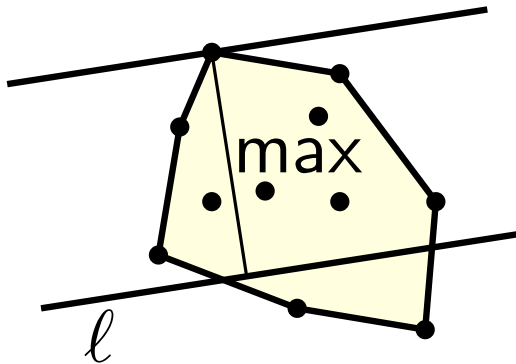
Beobachtung: für Gerade ℓ und Punktmenge P liegt der von ℓ weitest entfernte Punkt auf einer zu ℓ parallelen Tangente an die konvexe Hülle $CH(P)$



Beschleunigung des DP-Algorithmus

[Hershberger, Snoeyink '92]

Beobachtung: für Gerade ℓ und Punktmenge P liegt der von ℓ weitest entfernte Punkt auf einer zu ℓ parallelen Tangente an die konvexe Hülle $CH(P)$

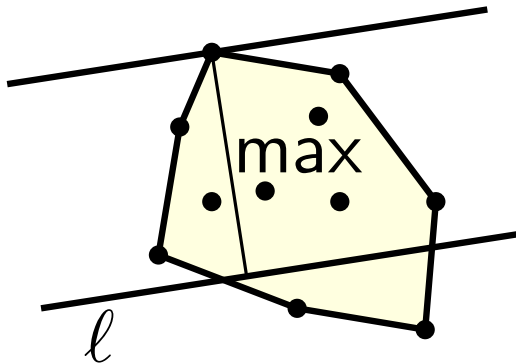


→ müssen nur solche Punkte als Splitknoten betrachten

Beschleunigung des DP-Algorithmus

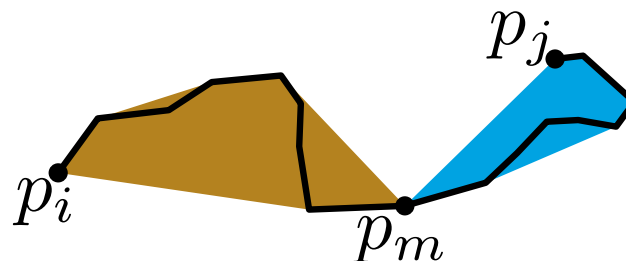
[Hershberger, Snoeyink '92]

Beobachtung: für Gerade ℓ und Punktmenge P liegt der von ℓ weitest entfernte Punkt auf einer zu ℓ parallelen Tangente an die konvexe Hülle $CH(P)$



→ müssen nur solche Punkte als Splitknoten betrachten

Def: Pfadhülle PH für (p_i, \dots, p_j) besteht aus einem Zwischenknoten p_m und den konvexen Hüllen $CH(p_i, \dots, p_m)$ und $CH(p_m, \dots, p_j)$



drei Operationen:

- $\text{build}(i, j, PH)$: erstelle Pfadhülle von (p_i, \dots, p_j) mit Zwischenknoten $p_m = p_{\lfloor (i+j)/2 \rfloor}$
- $\text{split}(PH, k)$: trenne Pfad (p_i, \dots, p_j) an Stelle k und gib Pfadhülle für Teilpfad, der p_m enthält zurück
- $\text{farthest}(PH, \ell)$: finde weitesten von ℓ entfernten Knoten in PH

$\text{DPHull}(i, j, PH)$

```
 $p_f \leftarrow \text{farthest}(PH, \overline{p_i p_j})$   
if  $\text{dist}(\overline{p_i p_j}, p_f) \leq \varepsilon$  then  
|   return  $\overline{p_i p_j}$   
else  
|   if  $f < m$  then  
|   |    $\text{split}(PH, f)$   
|   |    $\text{DPHull}(f, j, PH)$   
|   |    $\text{build}(i, f, PH)$   
|   |    $\text{DPHull}(i, f, PH)$   
|   else  
|   |    $\text{split}(PH, f)$   
|   |    $\text{DPHull}(i, f, PH)$   
|   |    $\text{build}(f, j, PH)$   
|   |    $\text{DPHull}(f, j, PH)$ 
```

Algorithmus von Hershberger und Snoeyink

drei Operationen:

- $\text{build}(i, j, PH)$: erstelle Pfadhülle von (p_i, \dots, p_j) mit Zwischenknoten $p_m = p_{\lfloor (i+j)/2 \rfloor}$
- $\text{split}(PH, k)$: trenne Pfad (p_i, \dots, p_j) an Stelle k und gib Pfadhülle für Teilpfad, der p_m enthält zurück
- $\text{farthest}(PH, \ell)$: finde weitesten von ℓ entfernten Knoten in PH ✓
 $O(\log n)$

$\text{DPHull}(i, j, PH)$

```
 $p_f \leftarrow \text{farthest}(PH, \overline{p_i p_j})$   
if  $\text{dist}(\overline{p_i p_j}, p_f) \leq \varepsilon$  then  
  | return  $\overline{p_i p_j}$   
else  
  | if  $f < m$  then  
    |  $\text{split}(PH, f)$   
    |  $\text{DPHull}(f, j, PH)$   
    |  $\text{build}(i, f, PH)$   
    |  $\text{DPHull}(i, f, PH)$   
  | else  
    |  $\text{split}(PH, f)$   
    |  $\text{DPHull}(i, f, PH)$   
    |  $\text{build}(f, j, PH)$   
    |  $\text{DPHull}(f, j, PH)$ 
```

build und split Operationen

build(i, j, PH): berechne iterativ rechte (linke) konvexe Hülle

$Q \leftarrow$ double-ended queue (p_{m+1}, p_m, p_{m+1}) /* $CH(p_m, \dots, p_k)$ */

$H \leftarrow$ history stack /* merkt sich Operationen */

for $k = m + 2, \dots, j$ **do**

while p_k nicht rechts von $\text{top}(Q)$ **do** pop-top(Q)

while p_k nicht rechts von $\text{bottom}(Q)$ **do** pop-bottom(Q)

if popped **then** push-top(Q, p_k); push-bottom(Q, p_k)

- durch H sind alle Hüllen $CH(p_m, \dots, p_k)$ rekonstruierbar
- linke Hülle analog für $k = m - 2, \dots, i$

build und split Operationen

build(i, j, PH): berechne iterativ rechte (linke) konvexe Hülle

$Q \leftarrow$ double-ended queue (p_{m+1}, p_m, p_{m+1}) /* $CH(p_m, \dots, p_k)$ */

$H \leftarrow$ history stack /* merkt sich Operationen */

for $k = m + 2, \dots, j$ **do**

P muss einfach sein!

while p_k nicht rechts von top(Q) **do** pop-top(Q)

while p_k nicht rechts von bottom(Q) **do** pop-bottom(Q)

if popped **then** push-top(Q, p_k); push-bottom(Q, p_k)

- durch H sind alle Hüllen $CH(p_m, \dots, p_k)$ rekonstruierbar
- linke Hülle analog für $k = m - 2, \dots, i$

build und split Operationen

build(i, j, PH): berechne iterativ rechte (linke) konvexe Hülle

$Q \leftarrow$ double-ended queue (p_{m+1}, p_m, p_{m+1}) /* $CH(p_m, \dots, p_k)$ */

$H \leftarrow$ history stack /* merkt sich Operationen */

for $k = m + 2, \dots, j$ **do**

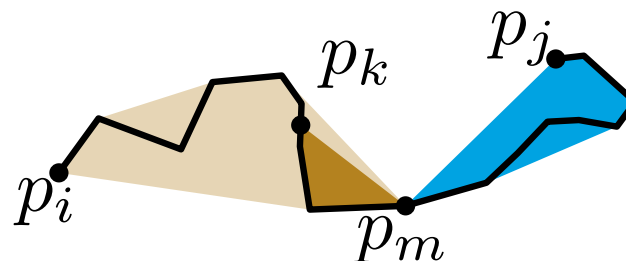
while p_k nicht rechts von $\text{top}(Q)$ **do** pop-top(Q)

while p_k nicht rechts von $\text{bottom}(Q)$ **do** pop-bottom(Q)

if popped **then** push-top(Q, p_k); push-bottom(Q, p_k)

- durch H sind alle Hüllen $CH(p_m, \dots, p_k)$ rekonstruierbar
- linke Hülle analog für $k = m - 2, \dots, i$

split(PH, k): nutze history stack der Teilhülle von PH , die p_k enthält um $CH(p_k, \dots, p_m)$ bzw. $CH(p_m, \dots, p_k)$ zu rekonstruieren



drei Operationen:

- $\text{build}(i, j, PH)$: erstelle Pfadhülle von (p_i, \dots, p_j) mit Zwischenknoten $p_m = p_{\lfloor (i+j)/2 \rfloor}$ ✓
- $\text{split}(PH, k)$: trenne Pfad (p_i, \dots, p_j) an Stelle k und gib Pfadhülle für Teilpfad, der p_m enthält zurück ✓
- $\text{farthest}(PH, \ell)$: finde weitesten von ℓ entfernten Knoten in PH ✓
 $O(\log n)$

Satz: $\text{DPHull}(1, n, PH)$ kann mit Laufzeit $O(n \log n)$ implementiert werden.
(Ann: (p_1, \dots, p_n) schnittfrei)

$\text{DPHull}(i, j, PH)$

```
 $p_f \leftarrow \text{farthest}(PH, \overline{p_i p_j})$   
if  $\text{dist}(\overline{p_i p_j}, p_f) \leq \varepsilon$  then  
|   return  $\overline{p_i p_j}$   
else  
|   if  $f < m$  then  
|   |    $\text{split}(PH, f)$   
|   |    $\text{DPHull}(f, j, PH)$   
|   |    $\text{build}(i, f, PH)$   
|   |    $\text{DPHull}(i, f, PH)$   
|   else  
|   |    $\text{split}(PH, f)$   
|   |    $\text{DPHull}(i, f, PH)$   
|   |    $\text{build}(f, j, PH)$   
|   |    $\text{DPHull}(f, j, PH)$ 
```

Alternative Punktauswahl

Entferntesten Punkt wie bei DP zu behalten kann Ausreißer betonen.

Betrachte stattdessen **effektive Fläche** jedes Knotens und entferne iterativ Knoten mit kleinster Fläche.

[Visvalingam, Whyatt '93]

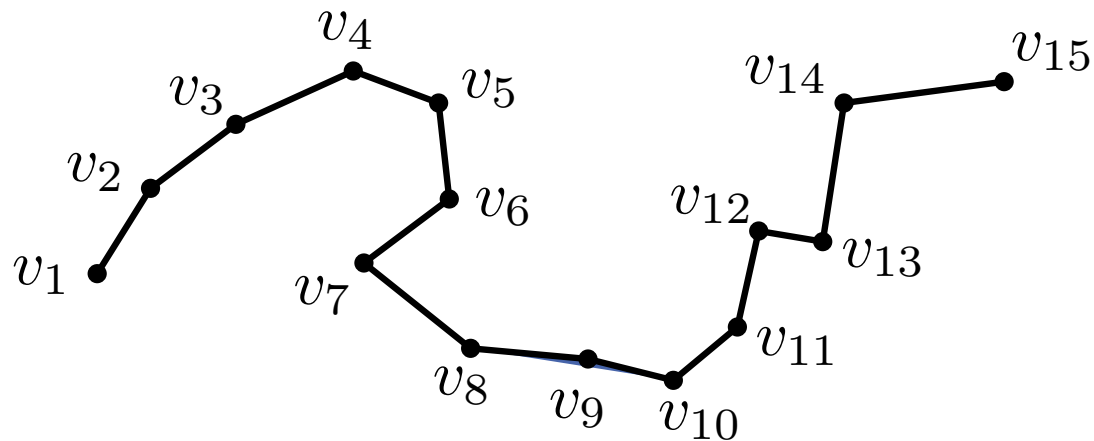


Alternative Punktauswahl

Entferntesten Punkt wie bei DP zu behalten kann Ausreißer betonen.

Betrachte stattdessen **effektive Fläche** jedes Knotens und entferne iterativ Knoten mit kleinster Fläche.

[Visvalingam, Whyatt '93]

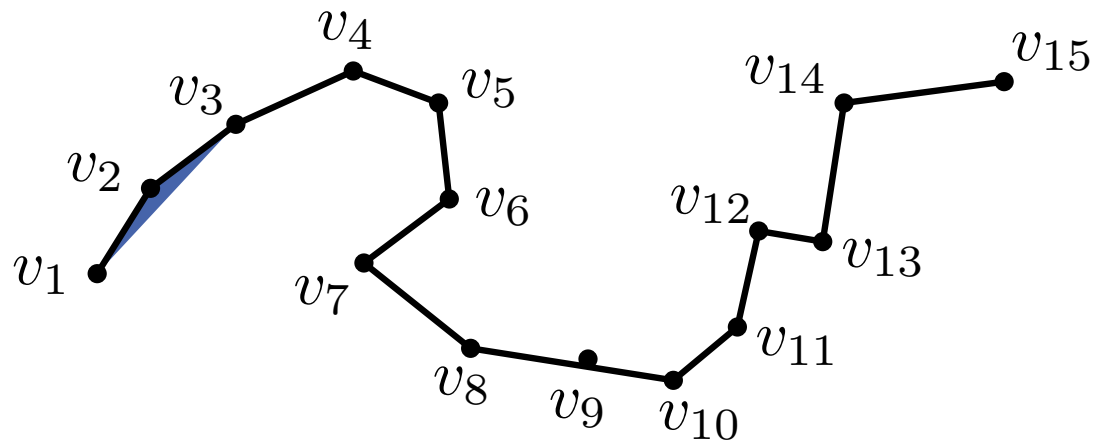


Alternative Punktauswahl

Entferntesten Punkt wie bei DP zu behalten kann Ausreißer betonen.

Betrachte stattdessen **effektive Fläche** jedes Knotens und entferne iterativ Knoten mit kleinster Fläche.

[Visvalingam, Whyatt '93]

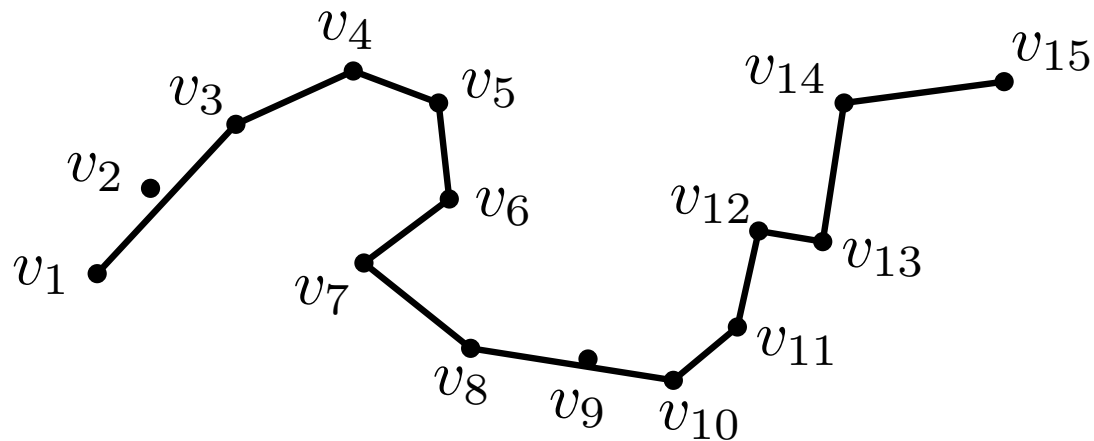


Alternative Punktauswahl

Entferntesten Punkt wie bei DP zu behalten kann Ausreißer betonen.

Betrachte stattdessen **effektive Fläche** jedes Knotens und entferne iterativ Knoten mit kleinster Fläche.

[Visvalingam, Whyatt '93]

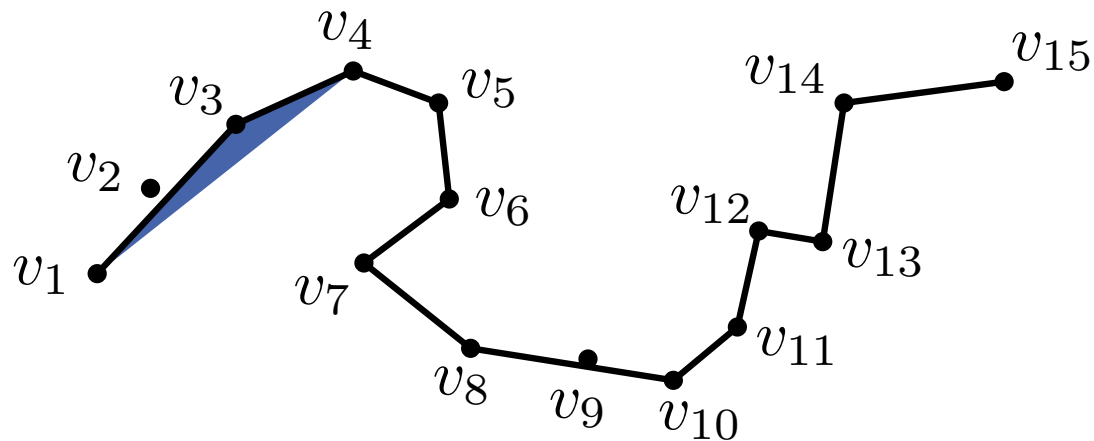


Alternative Punktauswahl

Entferntesten Punkt wie bei DP zu behalten kann Ausreißer betonen.

Betrachte stattdessen **effektive Fläche** jedes Knotens und entferne iterativ Knoten mit kleinster Fläche.

[Visvalingam, Whyatt '93]

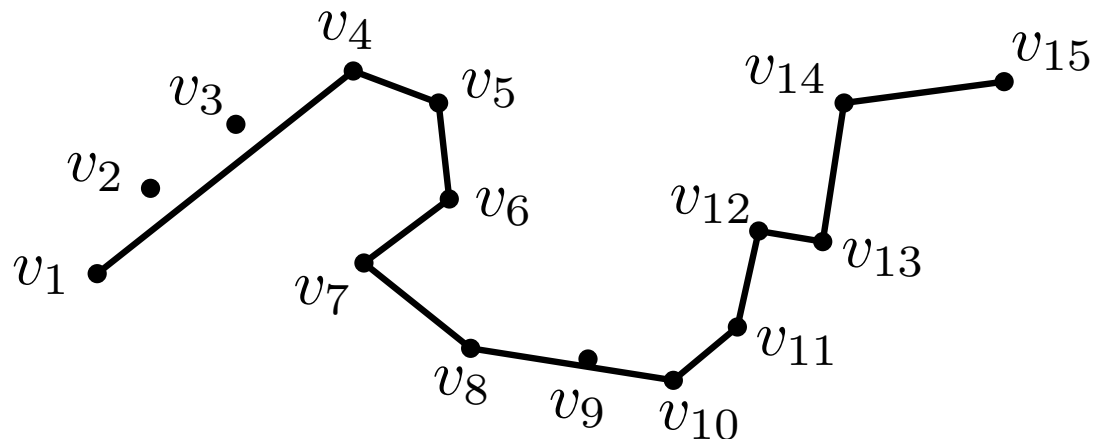


Alternative Punktauswahl

Entferntesten Punkt wie bei DP zu behalten kann Ausreißer betonen.

Betrachte stattdessen **effektive Fläche** jedes Knotens und entferne iterativ Knoten mit kleinster Fläche.

[Visvalingam, Whyatt '93]

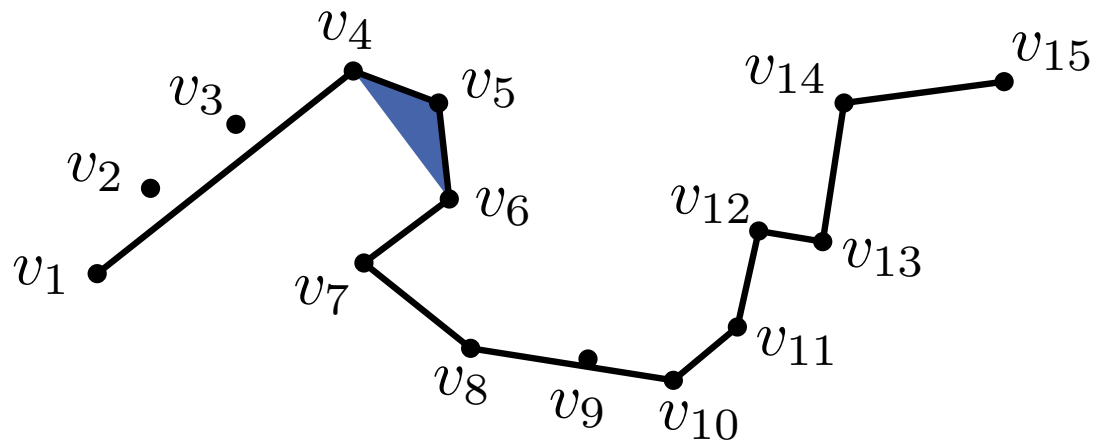


Alternative Punktauswahl

Entferntesten Punkt wie bei DP zu behalten kann Ausreißer betonen.

Betrachte stattdessen **effektive Fläche** jedes Knotens und entferne iterativ Knoten mit kleinster Fläche.

[Visvalingam, Whyatt '93]

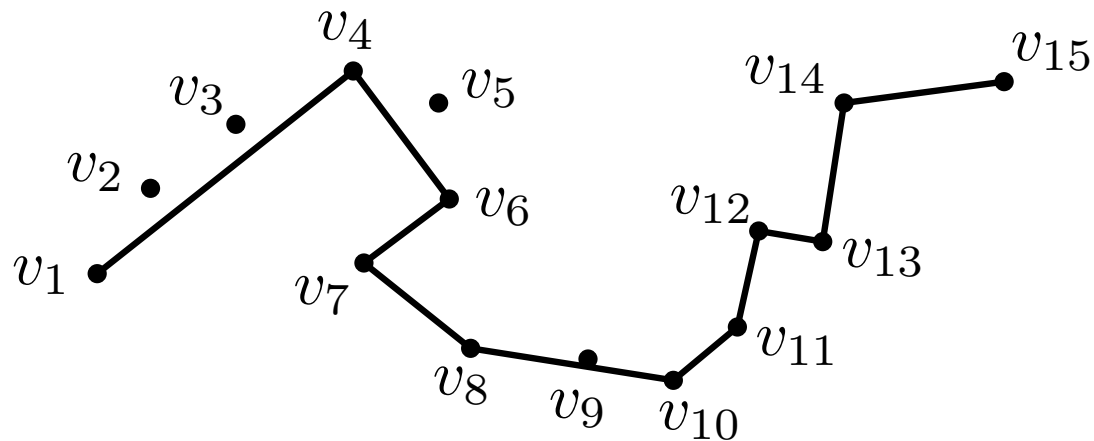


Alternative Punktauswahl

Entferntesten Punkt wie bei DP zu behalten kann Ausreißer betonen.

Betrachte stattdessen **effektive Fläche** jedes Knotens und entferne iterativ Knoten mit kleinster Fläche.

[Visvalingam, Whyatt '93]

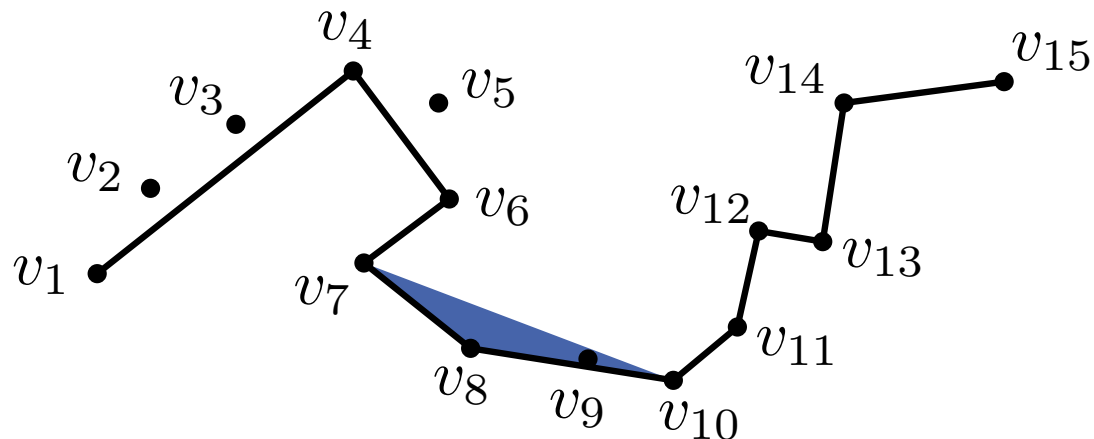


Alternative Punktauswahl

Entferntesten Punkt wie bei DP zu behalten kann Ausreißer betonen.

Betrachte stattdessen **effektive Fläche** jedes Knotens und entferne iterativ Knoten mit kleinster Fläche.

[Visvalingam, Whyatt '93]

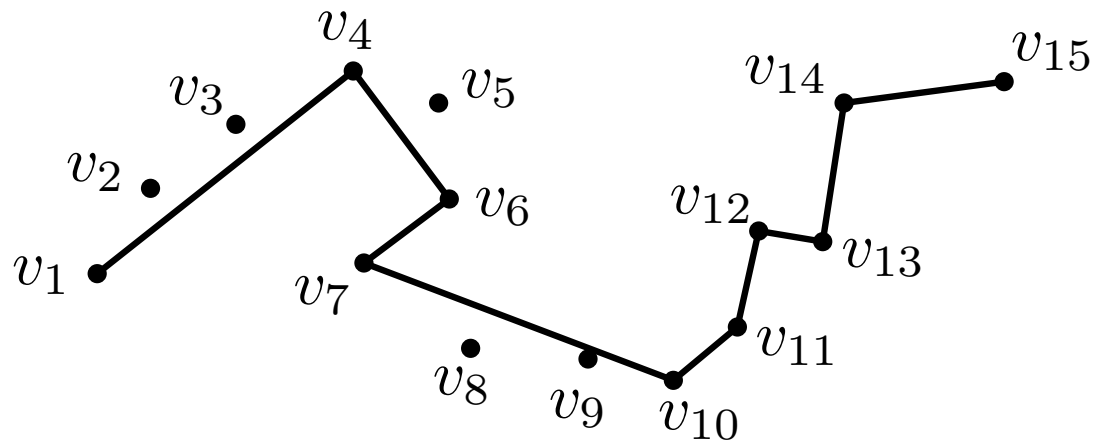


Alternative Punktauswahl

Entferntesten Punkt wie bei DP zu behalten kann Ausreißer betonen.

Betrachte stattdessen **effektive Fläche** jedes Knotens und entferne iterativ Knoten mit kleinster Fläche.

[Visvalingam, Whyatt '93]

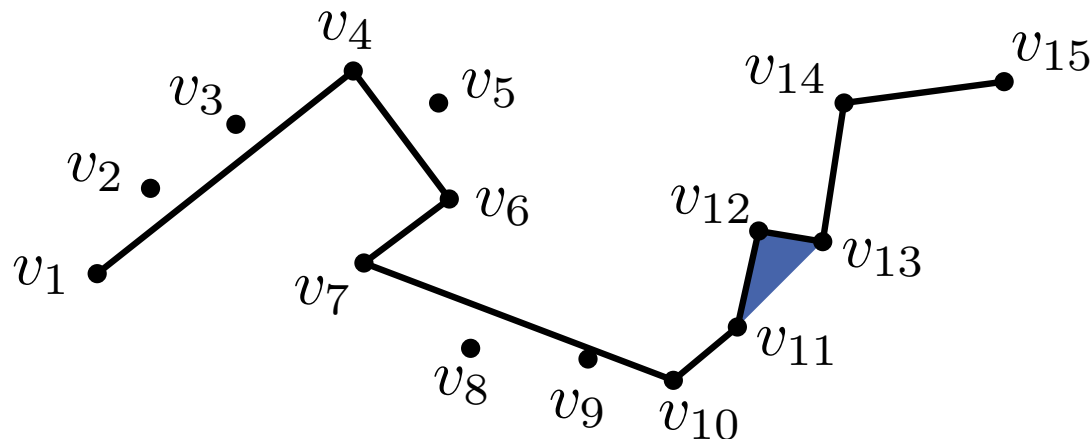


Alternative Punktauswahl

Entferntesten Punkt wie bei DP zu behalten kann Ausreißer betonen.

Betrachte stattdessen **effektive Fläche** jedes Knotens und entferne iterativ Knoten mit kleinster Fläche.

[Visvalingam, Whyatt '93]

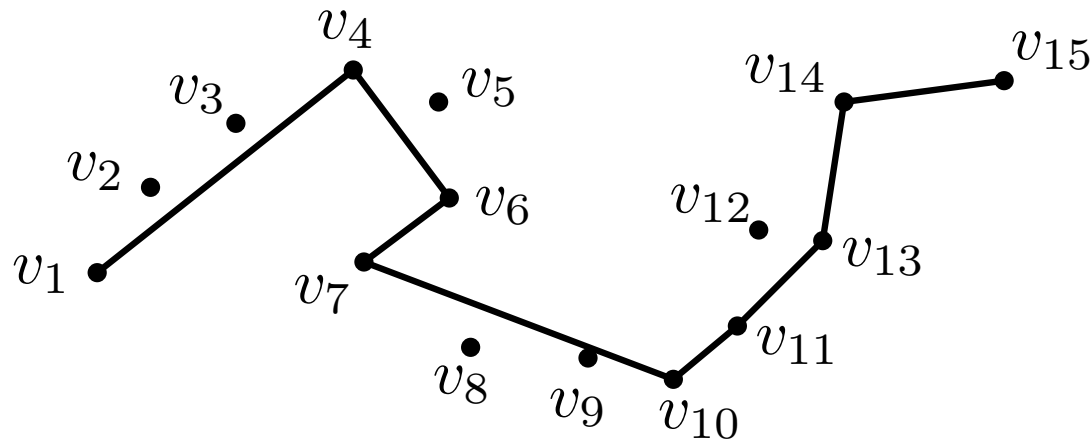


Alternative Punktauswahl

Entferntesten Punkt wie bei DP zu behalten kann Ausreißer betonen.

Betrachte stattdessen **effektive Fläche** jedes Knotens und entferne iterativ Knoten mit kleinster Fläche.

[Visvalingam, Whyatt '93]



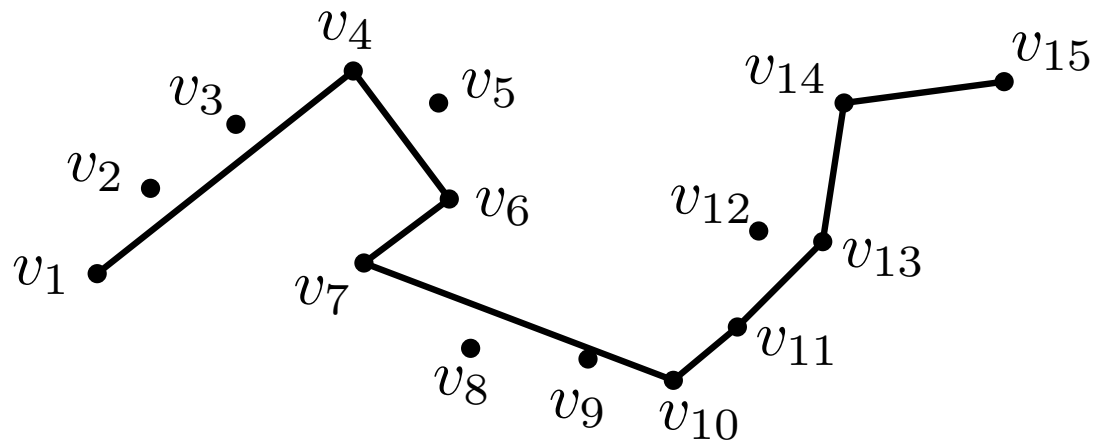
Alternative Punktauswahl

Entferntesten Punkt wie bei DP zu behalten kann Ausreißer betonen.

Betrachte stattdessen **effektive Fläche** jedes Knotens und entferne iterativ Knoten mit kleinster Fläche.



[Visvalingam, Whyatt '93]



Laufzeit?

Vereinfachung als Optimierungsproblem

Bisherige Algorithmen liefern heuristisch gute Approximationen an die Eingabe, jedoch nicht notwendig eine optimale Lösung.

Formulierung als Graphenproblem:

Fall 1: feste Maximallänge, minimiere Fehler

- vollständiger, gewichteter DAG G auf $\{v_1, \dots, v_n\}$ mit Kante (v_i, v_j) für alle $i < j$
- Kosten c_{ij} für das Ersetzen des Teilpfads $(v_i, v_{i+1}, \dots, v_j)$ durch Kante (v_i, v_j)
- finde kostenminimalen (kürzesten) Weg von v_1 nach v_n in G mit maximal k Kanten

Vereinfachung als Optimierungsproblem

Bisherige Algorithmen liefern heuristisch gute Approximationen an die Eingabe, jedoch nicht notwendig eine optimale Lösung.

Formulierung als Graphenproblem:

Fall 1: feste Maximallänge, minimiere Fehler

- vollständiger, gewichteter DAG G auf $\{v_1, \dots, v_n\}$ mit Kante (v_i, v_j) für alle $i < j$
- Kosten c_{ij} für das Ersetzen des Teilpfads $(v_i, v_{i+1}, \dots, v_j)$ durch Kante (v_i, v_j)
- finde kostenminimalen (kürzesten) Weg von v_1 nach v_n in G mit maximal k Kanten

Solche „constrained shortest path“ Probleme sind i. Allg. NP-schwer, hier jedoch nicht.

→ mehr dazu in der Übung!

Vereinfachung als Optimierungsproblem

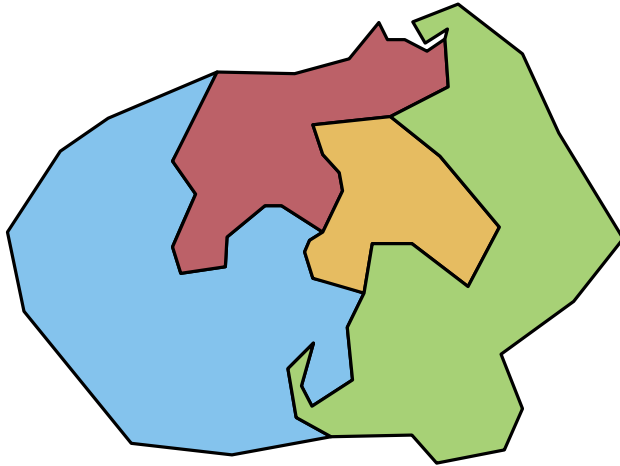
Bisherige Algorithmen liefern heuristisch gute Approximationen an die Eingabe, jedoch nicht notwendig eine optimale Lösung.

Formulierung als Graphenproblem:

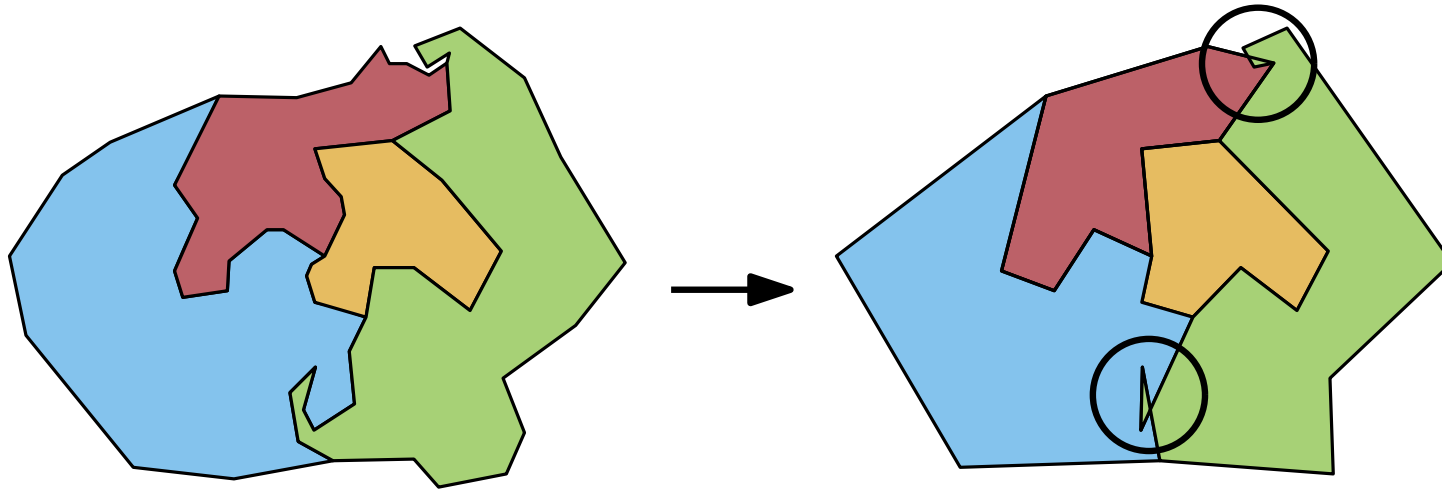
Fall 2: fester maximaler Fehler, minimiere Länge [Imai, Iri '88]

- DAG $G = (V, A)$ mit $V = \{v_1, \dots, v_n\}$ und Kante $(v_i, v_j) \in A, i < j$, gdw. $\text{Fehler}(\overline{v_i v_j}) < \varepsilon$
- finde kürzesten Weg von v_1 nach v_n in G
- topologisches Sortieren in linearer Zeit
- Berechnung von A naiv in $O(n^3)$, optimal in $\Theta(n^2)$
[Chan, Chin '92]

Pfadvereinfachung für Landkarten

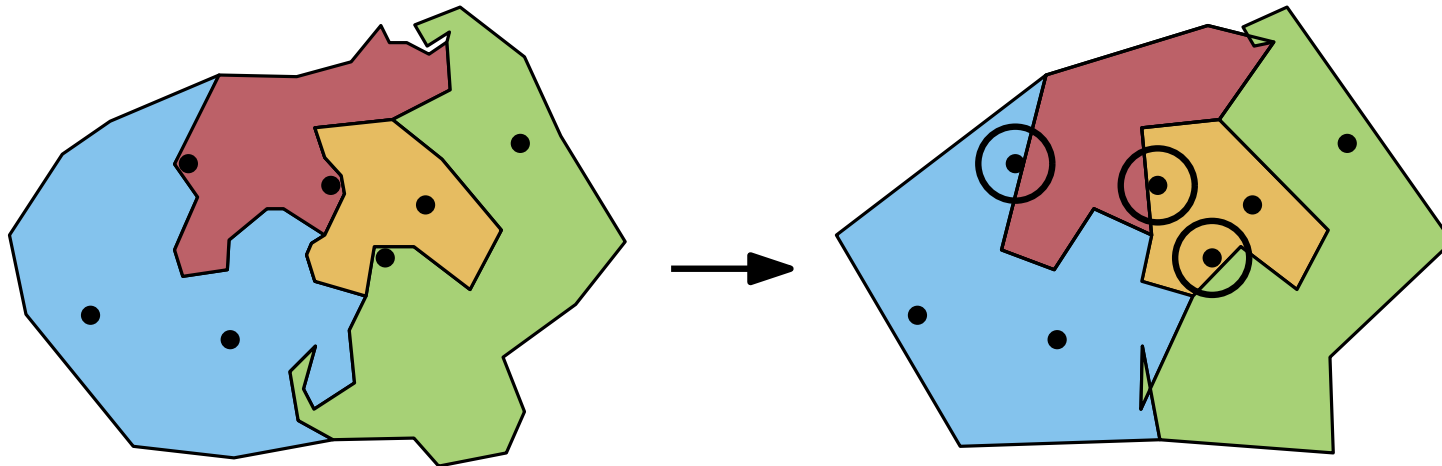


Pfadvereinfachung für Landkarten

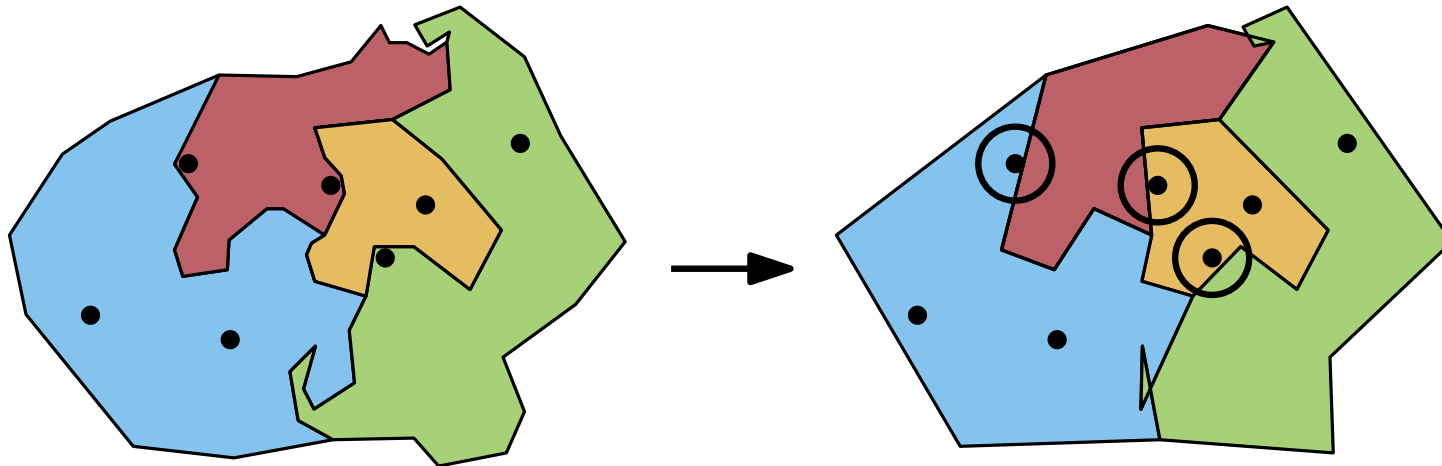


- Selbstschnitte und Schnitte mit anderen Pfaden möglich

Pfadvereinfachung für Landkarten



- Selbstschnitte und Schnitte mit anderen Pfaden möglich
- Punkte (z.B. Städte) können auf falsche Seite gelangen



- Selbstschnitte und Schnitte mit anderen Pfaden möglich
- Punkte (z.B. Städte) können auf falsche Seite gelangen

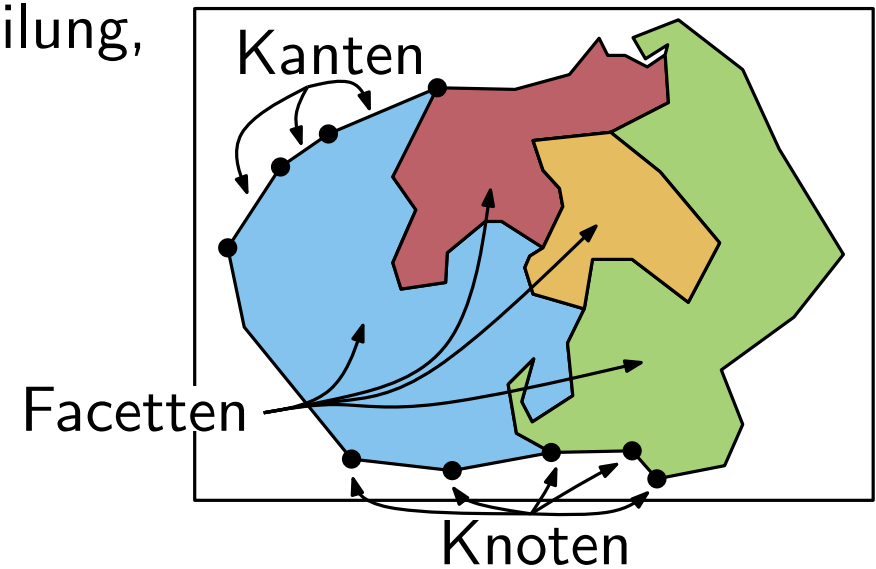
→ benötigen topologisch korrekten Vereinfachungsalgorithmus

Ansatz 1: nachträgliches Korrigieren

Ansatz 2: Vermeiden durch „schlauere“ Algorithmen

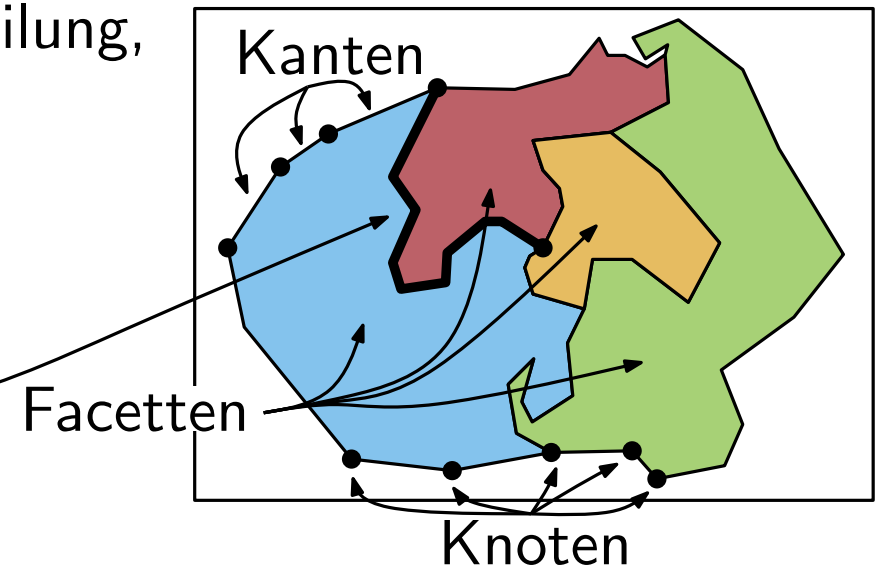
Ein paar Begriffe

- Karte modelliert als Rechtecksunterteilung, d.h. als planarer Graph
→ Knoten, Kanten, Facetten



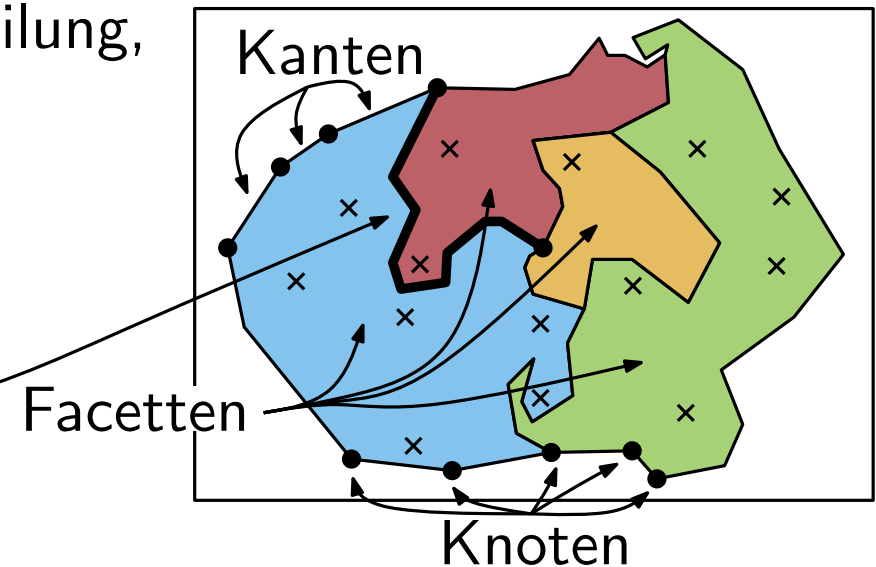
Ein paar Begriffe

- Karte modelliert als Rechtecksunterteilung, d.h. als planarer Graph
→ Knoten, Kanten, Facetten
- Knotengrade üblicherweise 2 oder 3
- maximale Pfade von Grad-2 Knoten bilden Kantenzüge



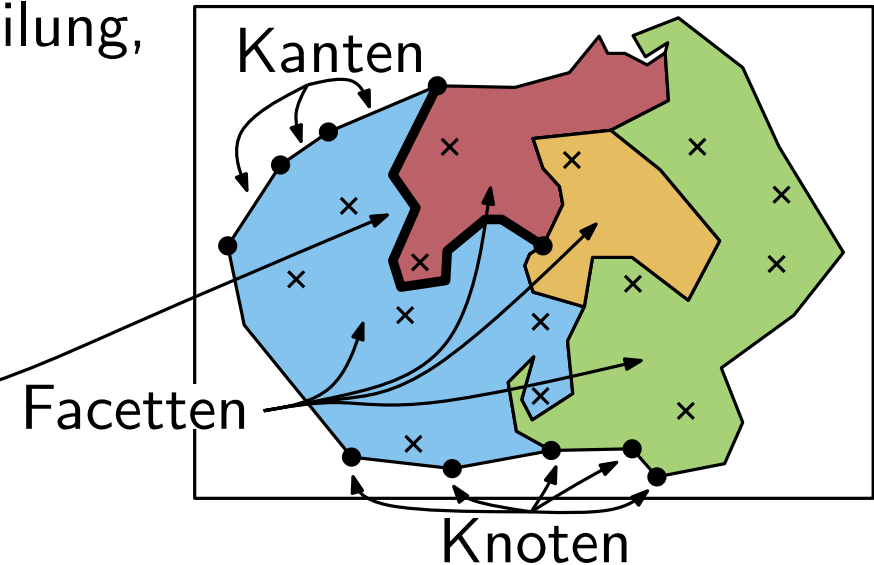
Ein paar Begriffe

- Karte modelliert als Rechtecksunterteilung, d.h. als planarer Graph
→ Knoten, Kanten, Facetten
- Knotengrade üblicherweise 2 oder 3
- maximale Pfade von Grad-2 Knoten bilden Kantenzüge
- zusätzlich Menge P von Punkten (x)



Ein paar Begriffe

- Karte modelliert als Rechtecksunterteilung, d.h. als planarer Graph
→ Knoten, Kanten, Facetten
- Knotengrade üblicherweise 2 oder 3
- maximale Pfade von Grad-2 Knoten bilden Kantenzüge
- zusätzlich Menge P von Punkten (x)



- Ziel:** ersetze alle Kantenzüge C durch vereinfachte Kantenzüge C' mit
- kein Punkt von C ist weiter als ε von C' entfernt
 - C' ist einfach (d.h. schnittfrei)
 - C' schneidet keinen weiteren Kantenzug
 - alle Punkte in P liegen auf den gleichen Seiten bzgl. C und C' , d.h. Punkte bleiben in den richtigen Facetten

→ solch ein C' heißt **konsistente Vereinfachung**

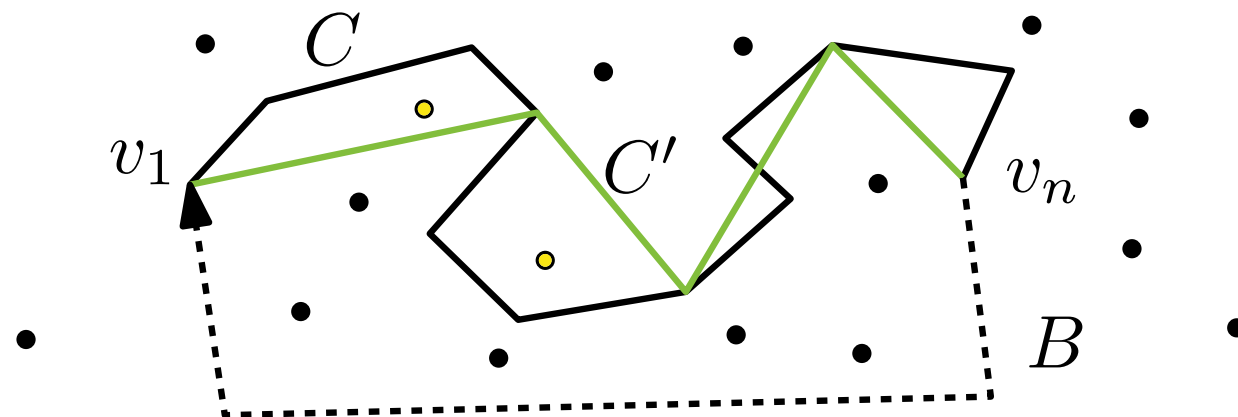
Algorithmus von de Berg et al. (1998)

- Idee:**
- graphbasierter Algorithmus (Imai & Iri) als Grundlage
 - **zulässige** shortcuts bzgl. Fehler ε bilden Graph G_1
 - **konsistente** shortcuts bzgl. P bilden Graph G_2
 - kürzester Weg in Graph $G = (V, A_1 \cap A_2)$ liefert optimale zulässige und konsistente Vereinfachung

Algorithmus von de Berg et al. (1998)

- Idee:**
- graphbasierter Algorithmus (Imai & Iri) als Grundlage
 - **zulässige** shortcuts bzgl. Fehler ε bilden Graph G_1
 - **konsistente** shortcuts bzgl. P bilden Graph G_2
 - kürzester Weg in Graph $G = (V, A_1 \cap A_2)$ liefert optimale zulässige und konsistente Vereinfachung

Def: Kantenzug $C = (v_1, \dots, v_n)$ und Vereinfachung C' heißen **konsistent bzgl. P** , wenn es Kantenzug B von v_n nach v_1 gibt, der C und C' zu einfachen Polygonen abschließt, die die gleiche Teilmenge von P einschließen.



Algorithmus von de Berg et al. (1998)

- Idee:**
- graphbasierter Algorithmus (Imai & Iri) als Grundlage
 - **zulässige** shortcuts bzgl. Fehler ε bilden Graph G_1
 - **konsistente** shortcuts bzgl. P bilden Graph G_2
 - kürzester Weg in Graph $G = (V, A_1 \cap A_2)$ liefert optimale zulässige und konsistente Vereinfachung

Def: Kantenzug $C = (v_1, \dots, v_n)$ und Vereinfachung C' heißen **konsistent bzgl. P** , wenn es Kantenzug B von v_n nach v_1 gibt, der C und C' zu einfachen Polygonen abschließt, die die gleiche Teilmenge von P einschließen.

Zunächst: Berechnung von G_2 für x -monotone Kantenzüge

x -monotone Kantenzüge

Lemma 1: C' konsistente Vereinfachung von C bzgl. $P \Leftrightarrow$
kein Punkt von P liegt in Facette von $C \cup C'$

x -monotone Kantenzüge

Lemma 1: C' konsistente Vereinfachung von C bzgl. $P \Leftrightarrow$
kein Punkt von P liegt in Facette von $C \cup C'$

Bestimmung aller konsistenten shortcuts von v_i

- C_{ij} : Kantenzug von v_i bis v_j
- Q_{ij} : Polygon $C_{ij} \cup \overline{v_i v_j}$
- $(v_i, v_j) \in A \Leftrightarrow Q_{ij}$ enthält keine Punkte aus P

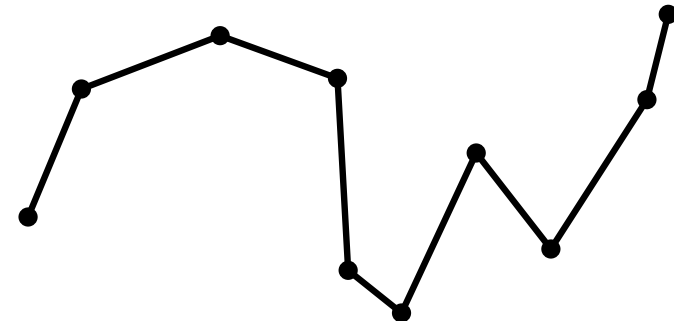
Lemma 1: C' konsistente Vereinfachung von C bzgl. $P \Leftrightarrow$
kein Punkt von P liegt in Facette von $C \cup C'$

Bestimmung aller konsistenten shortcuts von v_i

- C_{ij} : Kantenzug von v_i bis v_j
- Q_{ij} : Polygon $C_{ij} \cup \overline{v_i v_j}$
- $(v_i, v_j) \in A \Leftrightarrow Q_{ij}$ enthält keine Punkte aus P

Vorgehen für festes v_i in 3 Schritten

1. berechne Tangentensegmente und induzierte Unterteilung S_i
2. verteile P auf Regionen von S_i
3. berechne konsistente shortcuts



x -monotone Kantenzüge

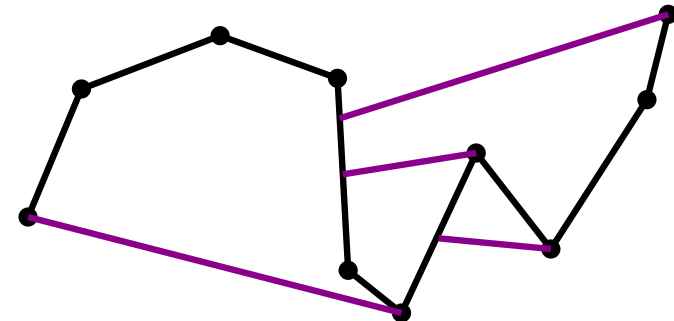
Lemma 1: C' konsistente Vereinfachung von C bzgl. $P \Leftrightarrow$
kein Punkt von P liegt in Facette von $C \cup C'$

Bestimmung aller konsistenten shortcuts von v_i

- C_{ij} : Kantenzug von v_i bis v_j
- Q_{ij} : Polygon $C_{ij} \cup \overline{v_i v_j}$
- $(v_i, v_j) \in A \Leftrightarrow Q_{ij}$ enthält keine Punkte aus P

Vorgehen für festes v_i in 3 Schritten

1. berechne Tangentensegmente und induzierte Unterteilung S_i
2. verteile P auf Regionen von S_i
3. berechne konsistente shortcuts



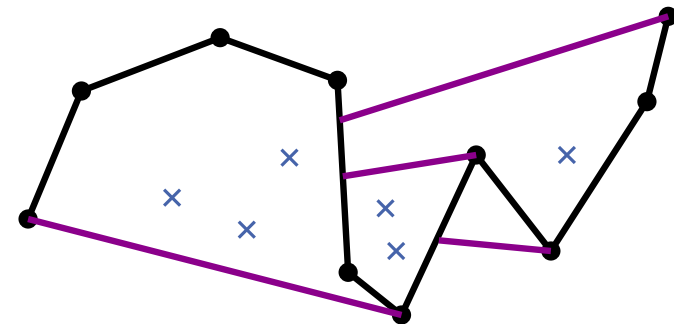
Lemma 1: C' konsistente Vereinfachung von C bzgl. $P \Leftrightarrow$
kein Punkt von P liegt in Facette von $C \cup C'$

Bestimmung aller konsistenten shortcuts von v_i

- C_{ij} : Kantenzug von v_i bis v_j
- Q_{ij} : Polygon $C_{ij} \cup \overline{v_i v_j}$
- $(v_i, v_j) \in A \Leftrightarrow Q_{ij}$ enthält keine Punkte aus P

Vorgehen für festes v_i in 3 Schritten

1. berechne Tangentensegmente und induzierte Unterteilung S_i
2. verteile P auf Regionen von S_i
3. berechne konsistente shortcuts



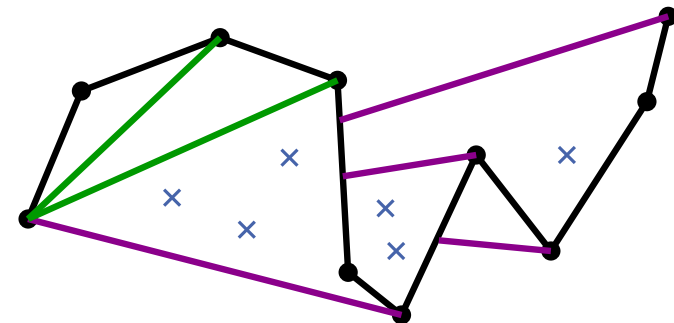
Lemma 1: C' konsistente Vereinfachung von C bzgl. $P \Leftrightarrow$
kein Punkt von P liegt in Facette von $C \cup C'$

Bestimmung aller konsistenten shortcuts von v_i

- C_{ij} : Kantenzug von v_i bis v_j
- Q_{ij} : Polygon $C_{ij} \cup \overline{v_i v_j}$
- $(v_i, v_j) \in A \Leftrightarrow Q_{ij}$ enthält keine Punkte aus P

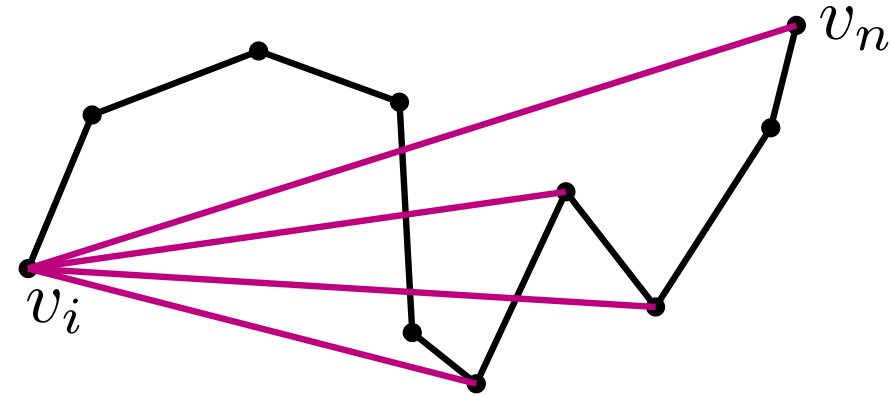
Vorgehen für festes v_i in 3 Schritten

1. berechne Tangentensegmente und induzierte Unterteilung S_i
2. verteile P auf Regionen von S_i
3. berechne konsistente shortcuts



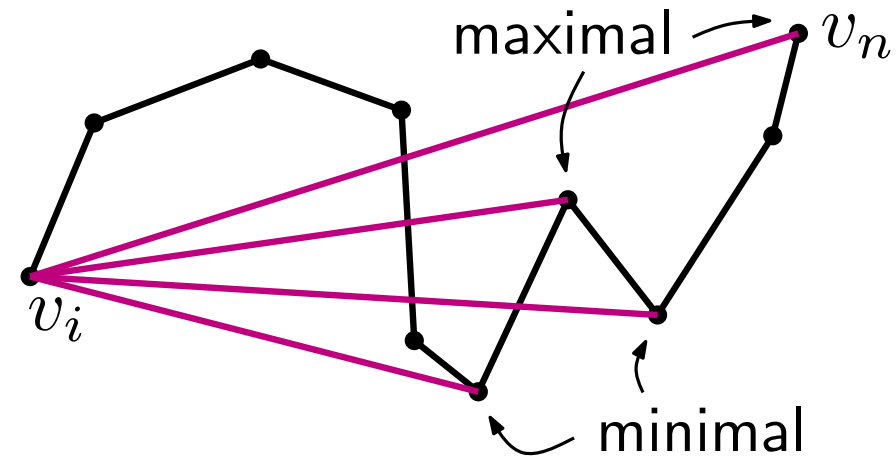
1) Tangentensegmente

- shortcut $v_i v_j$ ist **Tangente** an C_{in} , wenn v_{j-1} und v_{j+1} auf gleicher Seite von $v_i v_j$ liegen



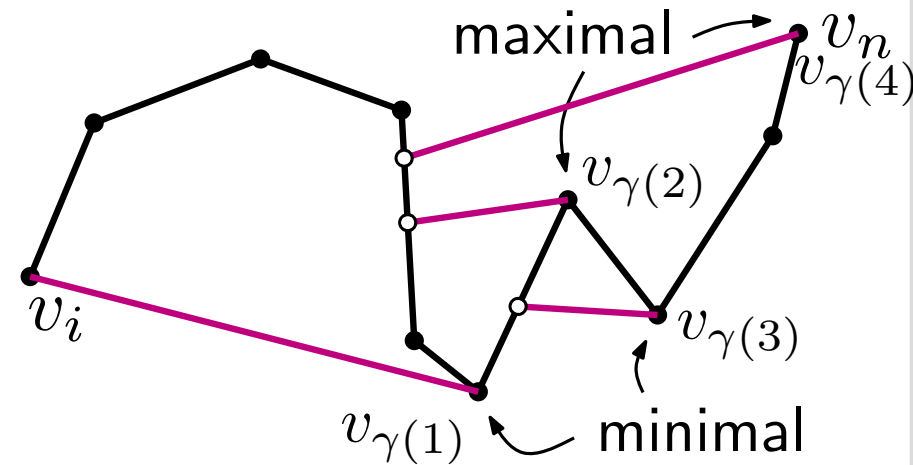
1) Tangentensegmente

- shortcut $v_i v_j$ ist **Tangente** an C_{in} , wenn v_{j-1} und v_{j+1} auf gleicher Seite von $v_i v_j$ liegen
- Tangente ist **minimal/maximal**, wenn v_{j-1} oberhalb/unterhalb $v_i v_j$



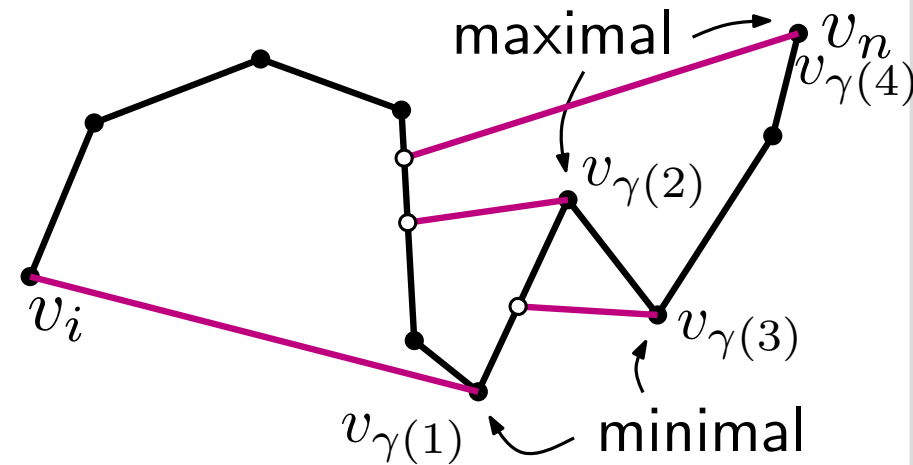
1) Tangentensegmente

- shortcut $v_i v_j$ ist **Tangente** an C_{in} , wenn v_{j-1} und v_{j+1} auf gleicher Seite von $v_i v_j$ liegen
- Tangente ist **minimal/maximal**, wenn v_{j-1} oberhalb/unterhalb $v_i v_j$
- **Tangentensegment** $\overline{w_j v_j}$, wobei w_j rechtester Punkt in $C_{in} \cap \overline{v_i v_j}$
- Tangenten $v_i v_{\gamma(1)}, \dots, v_i v_{\gamma(r)}$ definieren Unterteilung S_i mit r Facetten
- Knoten mit höchstem Index jeder Facette definiert Tangentensegment und Facettenindex



1) Tangentensegmente

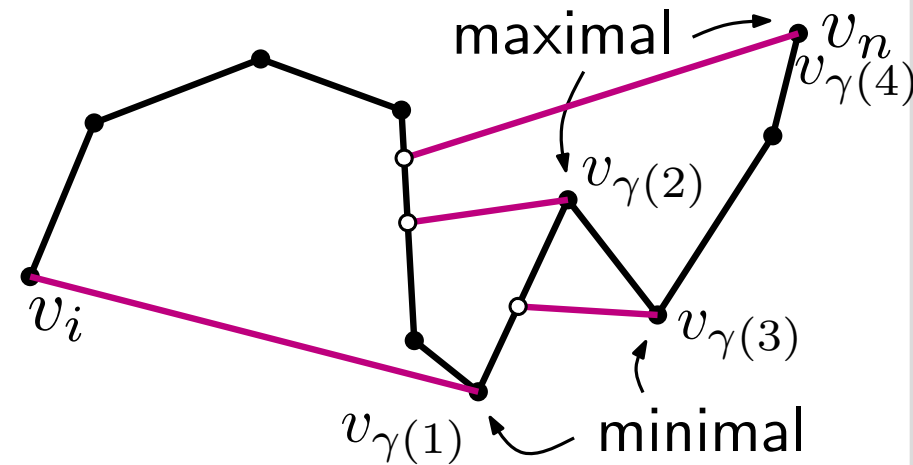
- shortcut $v_i v_j$ ist **Tangente** an C_{in} , wenn v_{j-1} und v_{j+1} auf gleicher Seite von $v_i v_j$ liegen
- Tangente ist **minimal/maximal**, wenn v_{j-1} oberhalb/unterhalb $v_i v_j$
- **Tangentensegment** $\overline{w_j v_j}$, wobei w_j rechtester Punkt in $C_{in} \cap \overline{v_i v_j}$
- Tangenten $v_i v_{\gamma(1)}, \dots, v_i v_{\gamma(r)}$ definieren Unterteilung S_i mit r Facetten
- Knoten mit höchstem Index jeder Facette definiert Tangentensegment und Facettenindex



Lemma 2: Jede begrenzte Facette f von S_i ist θ -monoton bzgl. v_i , d.h.
 $|r \cap f| \in \{0, 1\}$ für jeden Strahl r von v_i

1) Tangentensegmente

- shortcut $v_i v_j$ ist **Tangente** an C_{in} , wenn v_{j-1} und v_{j+1} auf gleicher Seite von $v_i v_j$ liegen
- Tangente ist **minimal/maximal**, wenn v_{j-1} oberhalb/unterhalb $v_i v_j$
- **Tangentensegment** $\overline{w_j v_j}$, wobei w_j rechtester Punkt in $C_{in} \cap \overline{v_i v_j}$
- Tangenten $v_i v_{\gamma(1)}, \dots, v_i v_{\gamma(r)}$ definieren Unterteilung S_i mit r Facetten
- Knoten mit höchstem Index jeder Facette definiert Tangentensegment und Facettenindex

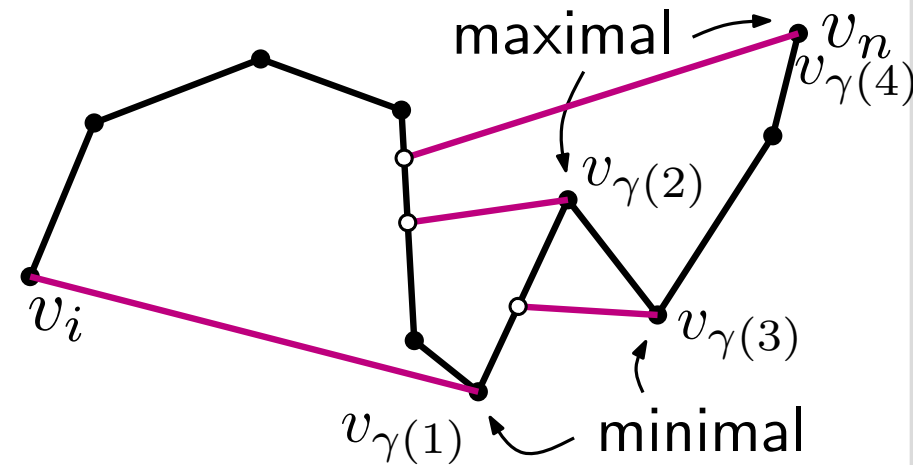


Lemma 2: Jede begrenzte Facette f von S_i ist θ -monoton bzgl. v_i , d.h. $|r \cap f| \in \{0, 1\}$ für jeden Strahl r von v_i

Lemma 3: Jede begrenzte Facette f von S_i besitzt genau einen zshg. Kantenzug, über den Strahlen r von v_i Facette f verlassen

1) Tangentensegmente

- shortcut $v_i v_j$ ist **Tangente** an C_{in} , wenn v_{j-1} und v_{j+1} auf gleicher Seite von $v_i v_j$ liegen
- Tangente ist **minimal/maximal**, wenn v_{j-1} oberhalb/unterhalb $v_i v_j$
- **Tangentensegment** $\overline{w_j v_j}$, wobei w_j rechtester Punkt in $C_{in} \cap \overline{v_i v_j}$
- Tangenten $v_i v_{\gamma(1)}, \dots, v_i v_{\gamma(r)}$ definieren Unterteilung S_i mit r Facetten
- Knoten mit höchstem Index jeder Facette definiert Tangentensegment und Facettenindex



Lemma 2: Jede begrenzte Facette f von S_i ist θ -monoton bzgl. v_i , d.h. $|r \cap f| \in \{0, 1\}$ für jeden Strahl r von v_i

Lemma 3: Jede begrenzte Facette f von S_i besitzt genau einen zshg. Kantenzug, über den Strahlen r von v_i Facette f verlassen

Lemma 4: Jeder Strahl von v_i schneidet die Facetten von S_i in aufsteigender Reihenfolge

1) Tangentensegmente: Algorithmus

Tangentensegmente(C, i)

Input: Kantenzug $C = (v_1, \dots, v_n)$, Index $1 \leq i \leq n$

Output: Tangentensegmente bzgl. v_i

for $j = i + 1, \dots, n$ **do**

if $v_i v_j$ maximale Tangente **then**

$k \leftarrow j - 1$

while $v_i v_j \cap \overline{v_{k-1} v_k} = \emptyset$ **do**

$k \leftarrow k - 1$

$w_j \leftarrow v_i v_j \cap \overline{v_{k-1} v_k}$

else if $v_i v_j$ minimale Tangente **then**

 ...

 /* analoges Vorgehen */

1) Tangentensegmente: Algorithmus

Tangentensegmente(C, i)

Input: Kantenzug $C = (v_1, \dots, v_n)$, Index $1 \leq i \leq n$

Output: Tangentensegmente bzgl. v_i

for $j = i + 1, \dots, n$ **do**

if $v_i v_j$ maximale Tangente **then**

$k \leftarrow j - 1$

while $v_i v_j \cap \overline{v_{k-1} v_k} = \emptyset$ **do**

$k \leftarrow k - 1$

$w_j \leftarrow v_i v_j \cap \overline{v_{k-1} v_k}$

else if $v_i v_j$ minimale Tangente **then**

 ...

/* analoges Vorgehen */

Laufzeit?

1) Tangentensegmente: Algorithmus

Tangentensegmente(C, i)

Input: Kantenzug $C = (v_1, \dots, v_n)$, Index $1 \leq i \leq n$

Output: Tangentensegmente bzgl. v_i

for $j = i + 1, \dots, n$ **do**

if $v_i v_j$ maximale Tangente **then**

$k \leftarrow j - 1$

while $v_i v_j \cap \overline{v_{k-1} v_k} = \emptyset$ **do**

$k \leftarrow k - 1$

if $v_i v_k$ maximale Tangente **then**

$k \leftarrow h$, wobei $v_{h-1} v_h$ Punkt w_k enthält

$w_j \leftarrow v_i v_j \cap \overline{v_{k-1} v_k}$

else if $v_i v_j$ minimale Tangente **then**

 ...

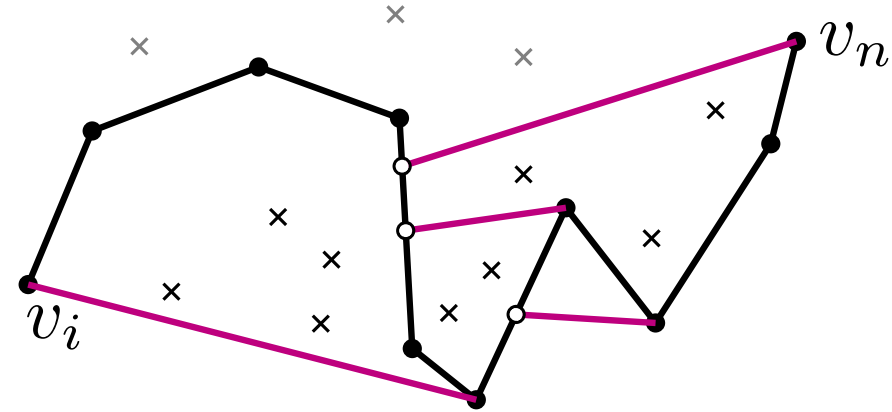
 /* analoges Vorgehen */

Laufzeit?

→ Tangentensegmente(C, i) benötigt $O(n)$ Zeit

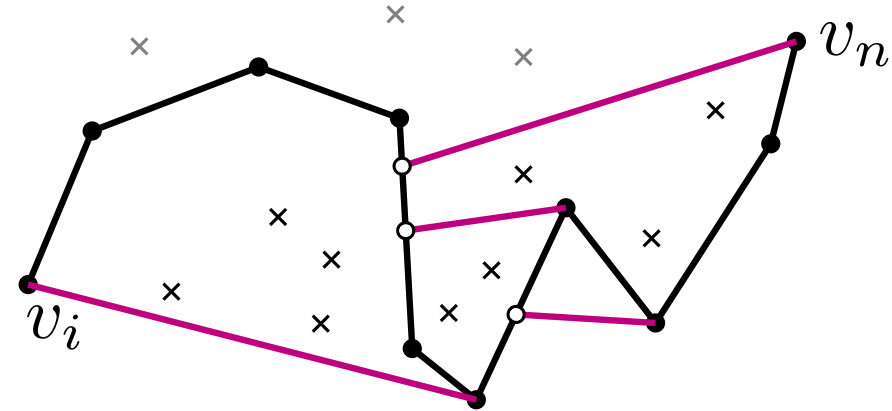
2) Punktzuweisung

- Punkte in äußerer Facette irrelevant
- weise Punkte in P Facetten von S_i zu



2) Punktzuweisung

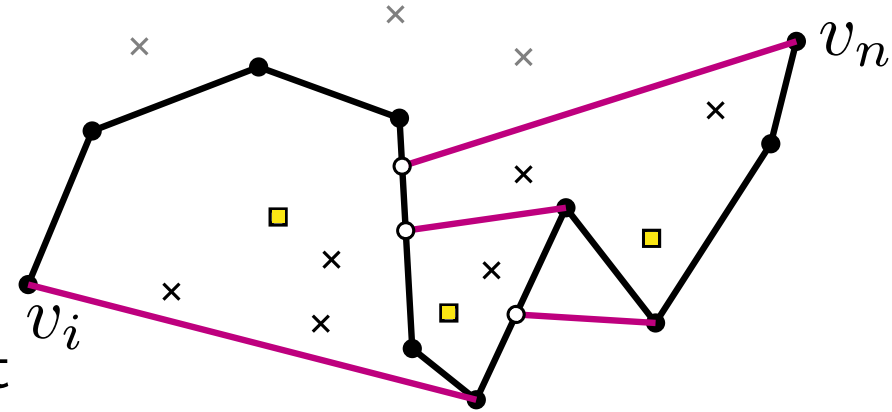
- Punkte in äußerer Facette irrelevant
- weise Punkte in P Facetten von S_i zu



Sind alle verbleibenden Punkte nötig?

2) Punktzuweisung

- Punkte in äußerer Facette irrelevant
 - weise Punkte in P Facetten von S_i zu
 - für minimale Facette f , behalte Punkt p_f mit maximaler Steigung von $v_i p_f$
 - für maximale Facette f , behalte Punkt p_f mit minimaler Steigung von $v_i p_f$
- verbleibende Punktmenge $P' \subseteq P$



Lemma 5: Ein shortcut $v_i v_j$ ist konsistent für C_{ij} und P gdw. er konsistent für P' ist.

2) Punktzuweisung: Algorithmus

Punktzuweisung(S_i, i, P)

Input: Unterteilung S_i , Index $1 \leq i \leq n$, Punktmenge P

Output: Punkt p_f für jede Facette f

$P' \leftarrow$ Punkte aus P rechts von v_i

priority queue $Q \leftarrow P' \cup \{v_{i+1}, \dots, v_n\}$ sortiert nach Winkel bzgl. v_i

$T \leftarrow$ leerer binärer Suchbaum für radialen Sweep

while Q nicht leer **do**

$p \leftarrow Q.\text{extractMax}$

if p Knoten von C_{ij} **then**

 | update T mit Kanten von p

else

$e \leftarrow$ linkester Kante $v_k v_{k+1}$ in T rechts von p auf sweep line

 speichere p an e

gehe über alle Kanten $v_i v_{i+1}, \dots, v_{n-1} v_n$ und weise Facetten f

maximalen/minimalen Punkt p_f zu

2) Punktzuweisung: Algorithmus

Punktzuweisung(S_i, i, P)

Input: Unterteilung S_i , Index $1 \leq i \leq n$, Punktmenge P

Output: Punkt p_f für jede Facette f

$P' \leftarrow$ Punkte aus P rechts von v_i

priority queue $Q \leftarrow P' \cup \{v_{i+1}, \dots, v_n\}$ sortiert nach Winkel bzgl. v_i

$T \leftarrow$ leerer binärer Suchbaum für radialen Sweep

while Q nicht leer **do**

$p \leftarrow Q.\text{extractMax}$

if p Knoten von C_{ij} **then**

 | update T mit Kanten von p

else

 | $e \leftarrow$ linkester Kante $v_k v_{k+1}$ in T rechts von p auf sweep line

 | speichere p an e

gehe über alle Kanten $v_i v_{i+1}, \dots, v_{n-1} v_n$ und weise Facetten f
maximalen/minimalen Punkt p_f zu

Laufzeit $O((n + m) \log(n + m))$

2) Punktzuweisung: Algorithmus

Punktzuweisung(S_i, i, P)

Input: Unterteilung S_i , Index $1 \leq i \leq n$, Punktmenge P

Output: Punkt p_f für jede Facette f

$P' \leftarrow$ Punkte aus P rechts von v_i

priority queue $Q \leftarrow P' \cup \{v_{i+1}, \dots, v_n\}$ sortiert nach Winkel bzgl. v_i

$T \leftarrow$ leerer binärer Suchbaum für radialen Sweep

while Q nicht leer **do**

$p \leftarrow Q.\text{extractMax}$

if p Knoten von C_{ij} **then**

 | update T mit Kanten von p

else

 | $e \leftarrow$ linkester Kante $v_k v_{k+1}$ in T rechts von p auf sweep line

 | speichere p an e

gehe über alle Kanten $v_i v_{i+1}, \dots, v_{n-1} v_n$ und weise Facetten f

maximalen/minimalen Punkt p_f zu

Laufzeit $O((n + m) \log(n + m))$ ~~$n + m$~~ s. Übung!

3) Konsistenzberechnung

Input: Unterteilung S_i mit Facetten f_1, \dots, f_r , Punkt $p_r \in P \cup \{\perp\}$
für jede Facette f_r , Index i

Output: Menge A aller konsistenten shortcuts von v_i

$Q \leftarrow$ double-ended queue für shortcuts $v_i v_j$ sortiert nach Steigung mit
Pointern zw. $v_i v_j$ und v_j

$j \leftarrow i + 1$

for $h = 1, \dots, r$ **do**

if $p_h \neq \perp$ **then**

if f_h maximale Facette **then**

 entferne shortcuts vom Anfang von Q
 solange Steigung größer als $v_i p_h$

else

 entferne shortcuts vom Ende von Q
 solange Steigung kleiner als $v_i p_h$

while $v_j \neq v_{\gamma(h)}$ **do**

if $v_i v_j \in Q$ **then** $A.add(v_i v_j); Q.remove(v_i v_j)$

$j \leftarrow j + 1$

3) Konsistenzberechnung

Input: Unterteilung S_i mit Facetten f_1, \dots, f_r , Punkt $p_r \in P \cup \{\perp\}$
für jede Facette f_r , Index i

Output: Menge A aller konsistenten shortcuts von v_i

$Q \leftarrow$ double-ended queue für shortcuts $v_i v_j$ sortiert nach Steigung mit
Pointern zw. $v_i v_j$ und v_j

$j \leftarrow i + 1$

for $h = 1, \dots, r$ **do**

if $p_h \neq \perp$ **then**

if f_h maximale Facette **then**

 entferne shortcuts vom Anfang von Q

 solange Steigung größer als $v_i p_h$

else

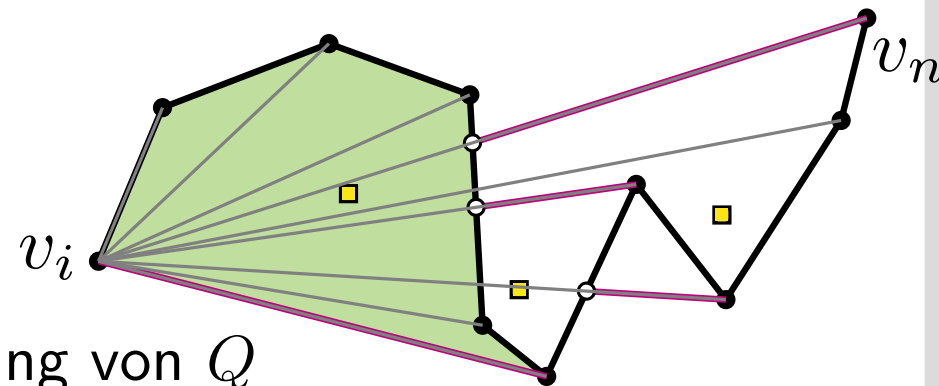
 entferne shortcuts vom Ende von Q

 solange Steigung kleiner als $v_i p_h$

while $v_j \neq v_{\gamma(h)}$ **do**

if $v_i v_j \in Q$ **then** $A.add(v_i v_j); Q.remove(v_i v_j)$

$j \leftarrow j + 1$



3) Konsistenzberechnung

Input: Unterteilung S_i mit Facetten f_1, \dots, f_r , Punkt $p_r \in P \cup \{\perp\}$
für jede Facette f_r , Index i

Output: Menge A aller konsistenten shortcuts von v_i

$Q \leftarrow$ double-ended queue für shortcuts $v_i v_j$ sortiert nach Steigung mit
Pointern zw. $v_i v_j$ und v_j

$j \leftarrow i + 1$

for $h = 1, \dots, r$ **do**

if $p_h \neq \perp$ **then**

if f_h maximale Facette **then**

 entferne shortcuts vom Anfang von Q

 solange Steigung größer als $v_i p_h$

else

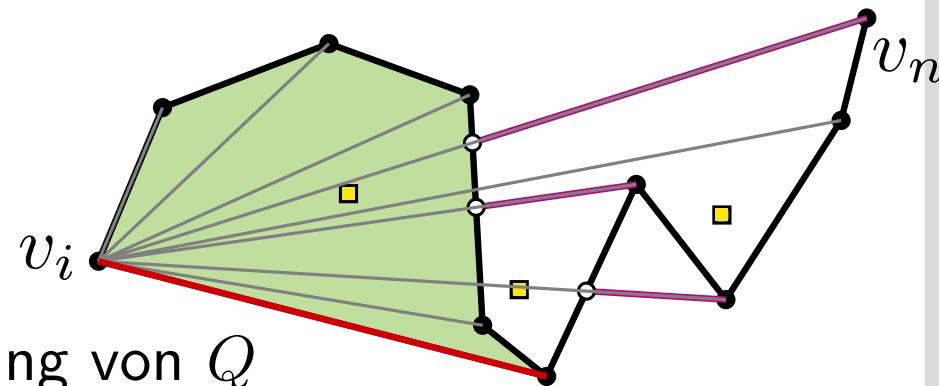
 entferne shortcuts vom Ende von Q

 solange Steigung kleiner als $v_i p_h$

while $v_j \neq v_{\gamma(h)}$ **do**

if $v_i v_j \in Q$ **then** $A.add(v_i v_j); Q.remove(v_i v_j)$

$j \leftarrow j + 1$



3) Konsistenzberechnung

Input: Unterteilung S_i mit Facetten f_1, \dots, f_r , Punkt $p_r \in P \cup \{\perp\}$
für jede Facette f_r , Index i

Output: Menge A aller konsistenten shortcuts von v_i

$Q \leftarrow$ double-ended queue für shortcuts $v_i v_j$ sortiert nach Steigung mit
Pointern zw. $v_i v_j$ und v_j

$j \leftarrow i + 1$

for $h = 1, \dots, r$ **do**

if $p_h \neq \perp$ **then**

if f_h maximale Facette **then**

 entferne shortcuts vom Anfang von Q

 solange Steigung größer als $v_i p_h$

else

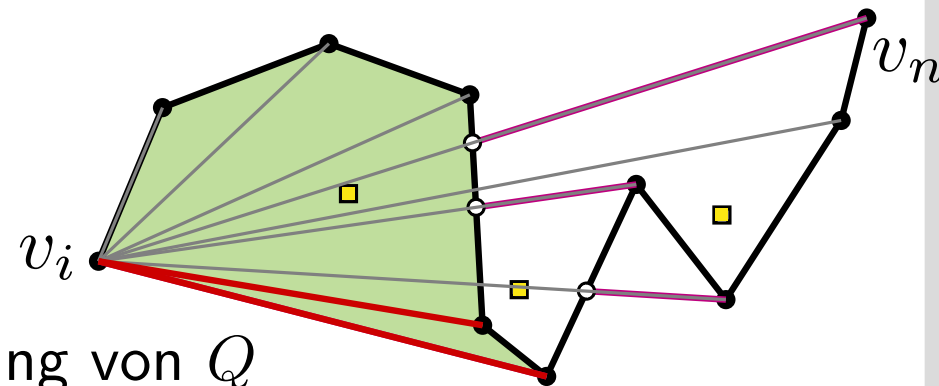
 entferne shortcuts vom Ende von Q

 solange Steigung kleiner als $v_i p_h$

while $v_j \neq v_{\gamma(h)}$ **do**

if $v_i v_j \in Q$ **then** $A.add(v_i v_j); Q.remove(v_i v_j)$

$j \leftarrow j + 1$



3) Konsistenzberechnung

Input: Unterteilung S_i mit Facetten f_1, \dots, f_r , Punkt $p_r \in P \cup \{\perp\}$
für jede Facette f_r , Index i

Output: Menge A aller konsistenten shortcuts von v_i

$Q \leftarrow$ double-ended queue für shortcuts $v_i v_j$ sortiert nach Steigung mit
Pointern zw. $v_i v_j$ und v_j

$j \leftarrow i + 1$

for $h = 1, \dots, r$ **do**

if $p_h \neq \perp$ **then**

if f_h maximale Facette **then**

 entferne shortcuts vom Anfang von Q

 solange Steigung größer als $v_i p_h$

else

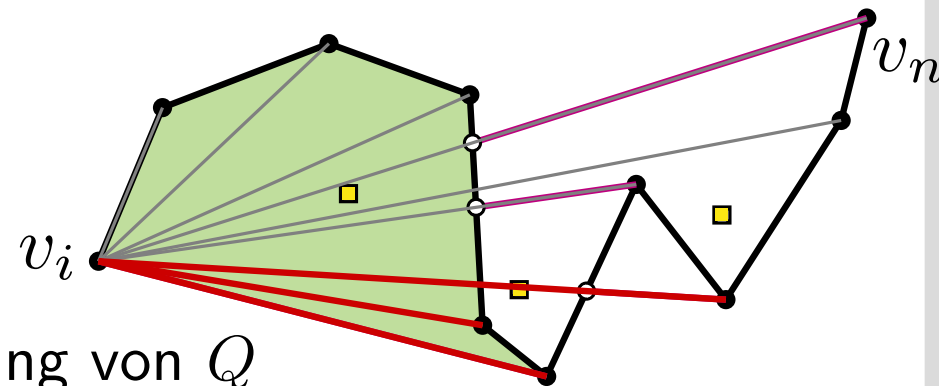
 entferne shortcuts vom Ende von Q

 solange Steigung kleiner als $v_i p_h$

while $v_j \neq v_{\gamma(h)}$ **do**

if $v_i v_j \in Q$ **then** $A.add(v_i v_j); Q.remove(v_i v_j)$

$j \leftarrow j + 1$



3) Konsistenzberechnung

Input: Unterteilung S_i mit Facetten f_1, \dots, f_r , Punkt $p_r \in P \cup \{\perp\}$
für jede Facette f_r , Index i

Output: Menge A aller konsistenten shortcuts von v_i

$Q \leftarrow$ double-ended queue für shortcuts $v_i v_j$ sortiert nach Steigung mit
Pointern zw. $v_i v_j$ und v_j

$j \leftarrow i + 1$

for $h = 1, \dots, r$ **do**

if $p_h \neq \perp$ **then**

if f_h maximale Facette **then**

 entferne shortcuts vom Anfang von Q

 solange Steigung größer als $v_i p_h$

else

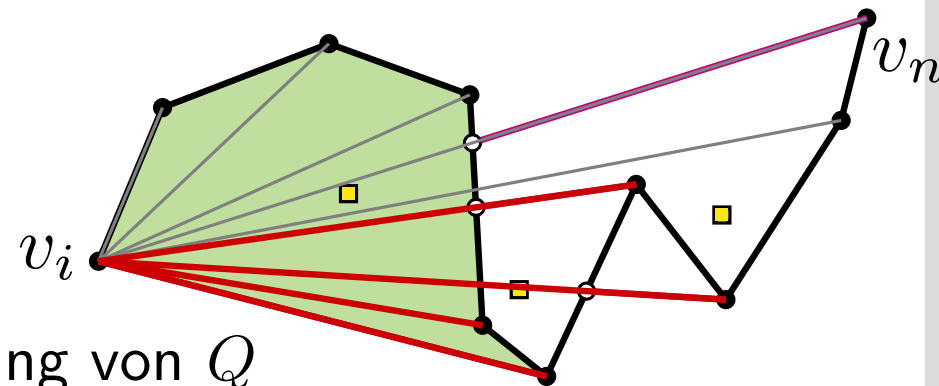
 entferne shortcuts vom Ende von Q

 solange Steigung kleiner als $v_i p_h$

while $v_j \neq v_{\gamma(h)}$ **do**

if $v_i v_j \in Q$ **then** $A.add(v_i v_j); Q.remove(v_i v_j)$

$j \leftarrow j + 1$



3) Konsistenzberechnung

Input: Unterteilung S_i mit Facetten f_1, \dots, f_r , Punkt $p_r \in P \cup \{\perp\}$
für jede Facette f_r , Index i

Output: Menge A aller konsistenten shortcuts von v_i

$Q \leftarrow$ double-ended queue für shortcuts $v_i v_j$ sortiert nach Steigung mit
Pointern zw. $v_i v_j$ und v_j

$j \leftarrow i + 1$

for $h = 1, \dots, r$ **do**

if $p_h \neq \perp$ **then**

if f_h maximale Facette **then**

 entferne shortcuts vom Anfang von Q

 solange Steigung größer als $v_i p_h$

else

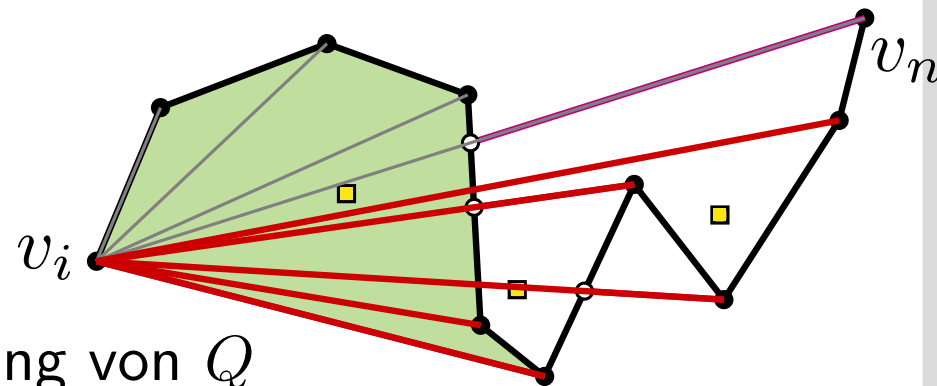
 entferne shortcuts vom Ende von Q

 solange Steigung kleiner als $v_i p_h$

while $v_j \neq v_{\gamma(h)}$ **do**

if $v_i v_j \in Q$ **then** $A.add(v_i v_j); Q.remove(v_i v_j)$

$j \leftarrow j + 1$



3) Konsistenzberechnung

Input: Unterteilung S_i mit Facetten f_1, \dots, f_r , Punkt $p_r \in P \cup \{\perp\}$
für jede Facette f_r , Index i

Output: Menge A aller konsistenten shortcuts von v_i

$Q \leftarrow$ double-ended queue für shortcuts $v_i v_j$ sortiert nach Steigung mit
Pointern zw. $v_i v_j$ und v_j

$j \leftarrow i + 1$

for $h = 1, \dots, r$ **do**

if $p_h \neq \perp$ **then**

if f_h maximale Facette **then**

 entferne shortcuts vom Anfang von Q

 solange Steigung größer als $v_i p_h$

else

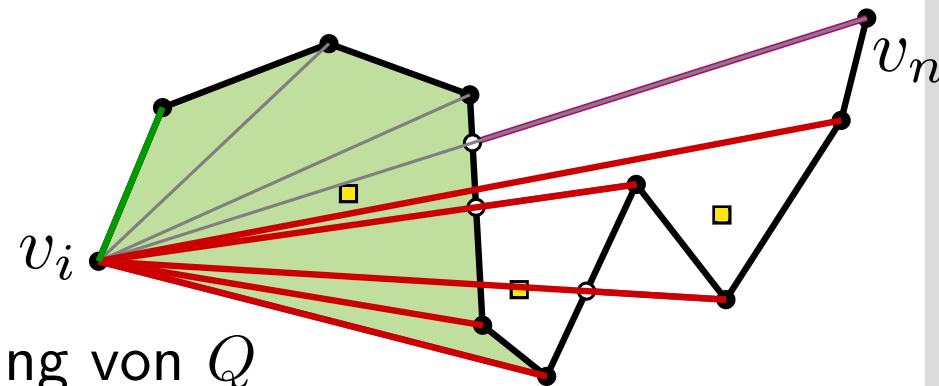
 entferne shortcuts vom Ende von Q

 solange Steigung kleiner als $v_i p_h$

while $v_j \neq v_{\gamma(h)}$ **do**

if $v_i v_j \in Q$ **then** $A.add(v_i v_j); Q.remove(v_i v_j)$

$j \leftarrow j + 1$



3) Konsistenzberechnung

Input: Unterteilung S_i mit Facetten f_1, \dots, f_r , Punkt $p_r \in P \cup \{\perp\}$
für jede Facette f_r , Index i

Output: Menge A aller konsistenten shortcuts von v_i

$Q \leftarrow$ double-ended queue für shortcuts $v_i v_j$ sortiert nach Steigung mit
Pointern zw. $v_i v_j$ und v_j

$j \leftarrow i + 1$

for $h = 1, \dots, r$ **do**

if $p_h \neq \perp$ **then**

if f_h maximale Facette **then**

 entferne shortcuts vom Anfang von Q

 solange Steigung größer als $v_i p_h$

else

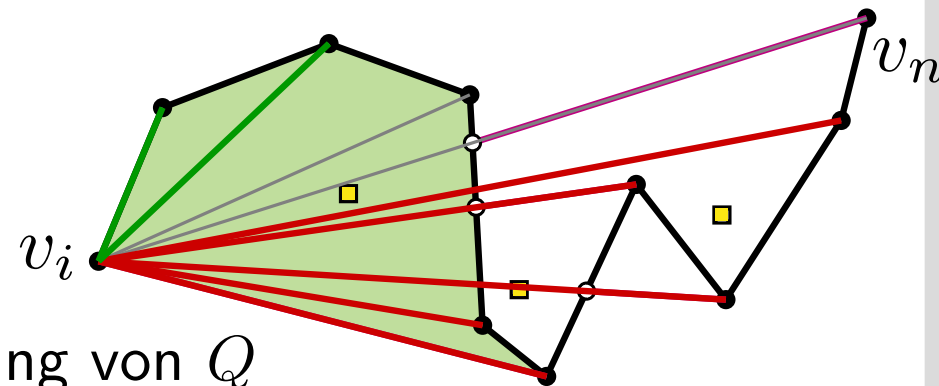
 entferne shortcuts vom Ende von Q

 solange Steigung kleiner als $v_i p_h$

while $v_j \neq v_{\gamma(h)}$ **do**

if $v_i v_j \in Q$ **then** $A.add(v_i v_j); Q.remove(v_i v_j)$

$j \leftarrow j + 1$



3) Konsistenzberechnung

Input: Unterteilung S_i mit Facetten f_1, \dots, f_r , Punkt $p_r \in P \cup \{\perp\}$
für jede Facette f_r , Index i

Output: Menge A aller konsistenten shortcuts von v_i

$Q \leftarrow$ double-ended queue für shortcuts $v_i v_j$ sortiert nach Steigung mit
Pointern zw. $v_i v_j$ und v_j

$j \leftarrow i + 1$

for $h = 1, \dots, r$ **do**

if $p_h \neq \perp$ **then**

if f_h maximale Facette **then**

 entferne shortcuts vom Anfang von Q

 solange Steigung größer als $v_i p_h$

else

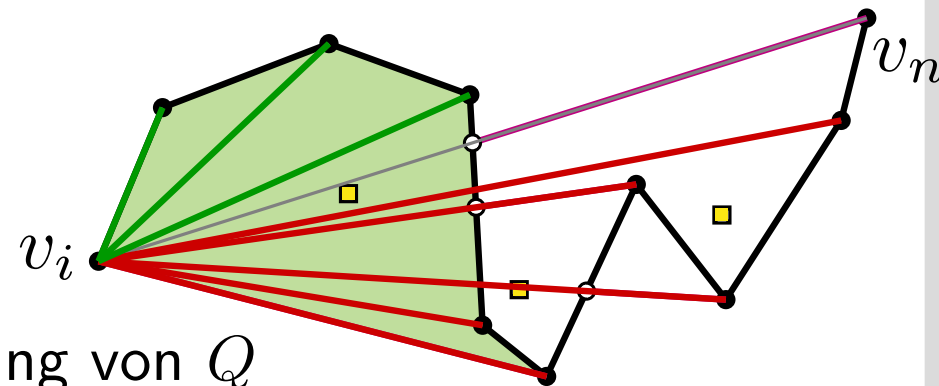
 entferne shortcuts vom Ende von Q

 solange Steigung kleiner als $v_i p_h$

while $v_j \neq v_{\gamma(h)}$ **do**

if $v_i v_j \in Q$ **then** $A.add(v_i v_j); Q.remove(v_i v_j)$

$j \leftarrow j + 1$



3) Konsistenzberechnung

Input: Unterteilung S_i mit Facetten f_1, \dots, f_r , Punkt $p_r \in P \cup \{\perp\}$
für jede Facette f_r , Index i

Output: Menge A aller konsistenten shortcuts von v_i

$Q \leftarrow$ double-ended queue für shortcuts $v_i v_j$ sortiert nach Steigung mit
Pointern zw. $v_i v_j$ und v_j

$j \leftarrow i + 1$

for $h = 1, \dots, r$ **do**

if $p_h \neq \perp$ **then**

if f_h maximale Facette **then**

 entferne shortcuts vom Anfang von Q

 solange Steigung größer als $v_i p_h$

else

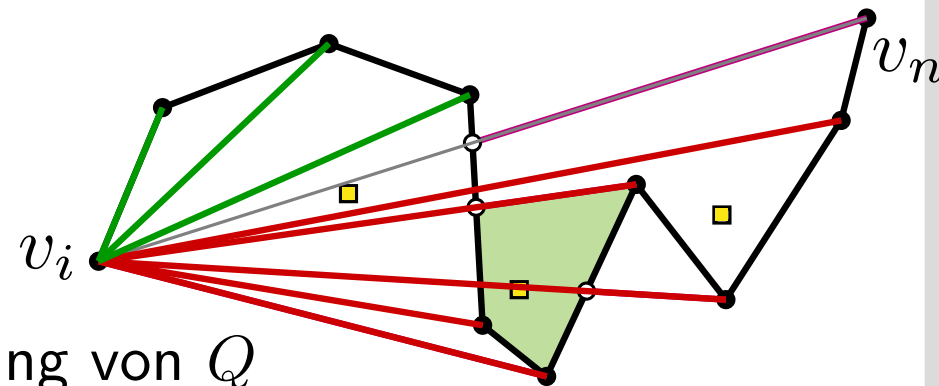
 entferne shortcuts vom Ende von Q

 solange Steigung kleiner als $v_i p_h$

while $v_j \neq v_{\gamma(h)}$ **do**

if $v_i v_j \in Q$ **then** $A.add(v_i v_j); Q.remove(v_i v_j)$

$j \leftarrow j + 1$



3) Konsistenzberechnung

Input: Unterteilung S_i mit Facetten f_1, \dots, f_r , Punkt $p_r \in P \cup \{\perp\}$
für jede Facette f_r , Index i

Output: Menge A aller konsistenten shortcuts von v_i

$Q \leftarrow$ double-ended queue für shortcuts $v_i v_j$ sortiert nach Steigung mit
Pointern zw. $v_i v_j$ und v_j

$j \leftarrow i + 1$

for $h = 1, \dots, r$ **do**

if $p_h \neq \perp$ **then**

if f_h maximale Facette **then**

 entferne shortcuts vom Anfang von Q

 solange Steigung größer als $v_i p_h$

else

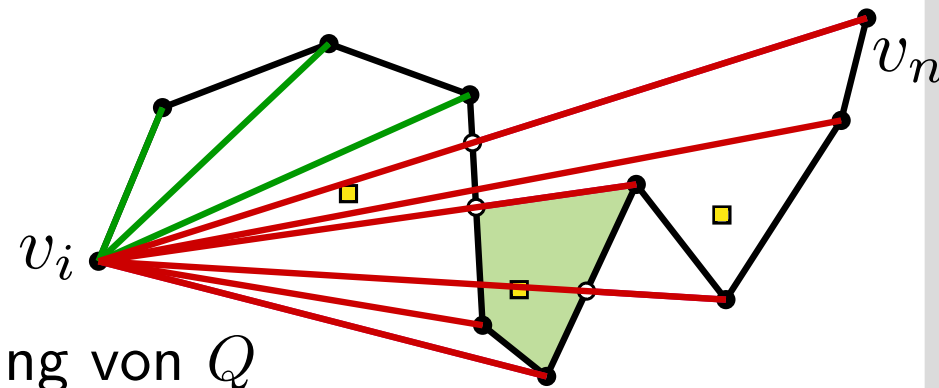
 entferne shortcuts vom Ende von Q

 solange Steigung kleiner als $v_i p_h$

while $v_j \neq v_{\gamma(h)}$ **do**

if $v_i v_j \in Q$ **then** $A.add(v_i v_j); Q.remove(v_i v_j)$

$j \leftarrow j + 1$



3) Konsistenzberechnung

Input: Unterteilung S_i mit Facetten f_1, \dots, f_r , Punkt $p_r \in P \cup \{\perp\}$

Output: Menge A aller konsistenten shortcuts von v_i zu v_j mit $j > i$.
double-ended queue für shortcuts $v_i v_j$ sortiert nach Steigung mit Pointern zw. $v_i v_j$ und v_j

Lemma 6: Die Berechnung der shortcuts in A ist korrekt und benötigt $O(n \log n)$ Zeit.

$j \leftarrow i + 1$

for $h = 1, \dots, r$ **do**

if $p_h \neq \perp$ **then**

if f_h maximale Facette **then**

entferne shortcuts vom Anfang von Q

solange Steigung größer als $v_i p_h$

else

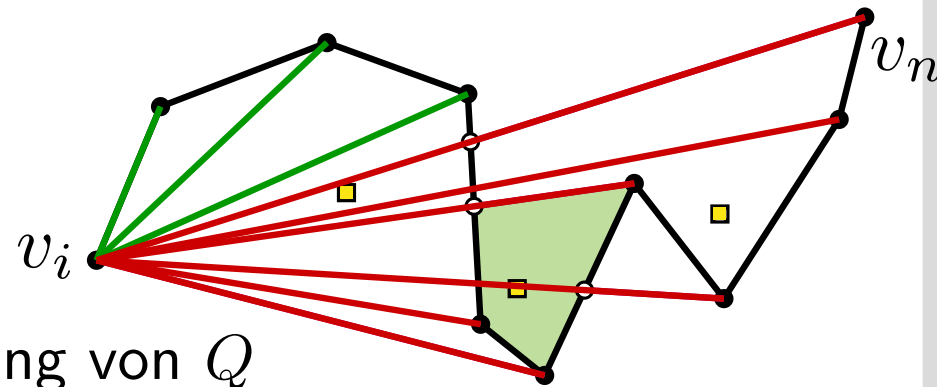
entferne shortcuts vom Ende von Q

solange Steigung kleiner als $v_i p_h$

while $v_j \neq v_{\gamma(h)}$ **do**

if $v_i v_j \in Q$ **then** $A.add(v_i v_j); Q.remove(v_i v_j)$

$j \leftarrow j + 1$



Lemma 7: Für x -monotonen Kantenzug C mit n Knoten und Menge P von m Punkten können alle konsistenten shortcuts für einen Knoten v von C in Zeit $O((n + m) \log n)$ berechnet werden.

Lemma 7: Für x -monotonen Kantenzug C mit n Knoten und Menge P von m Punkten können alle konsistenten shortcuts für einen Knoten v von C in Zeit $O((n + m) \log n)$ berechnet werden.

Satz 1: Für x -monotonen Kantenzug C mit n Knoten, Menge P von m Punkten und Fehlerschranke ε kann die kleinste konsistente Vereinfachung C' mit Fehler $\leq \varepsilon$ in Zeit $O(n(n + m) \log n)$ berechnet werden.

Erweiterung für beliebige Kantenzüge

Idee: finde für jeden Knoten v_i einen Endindex $n(i)$, so dass der x -monotone Algorithmus auf $C_{in(i)}$ anwendbar ist.

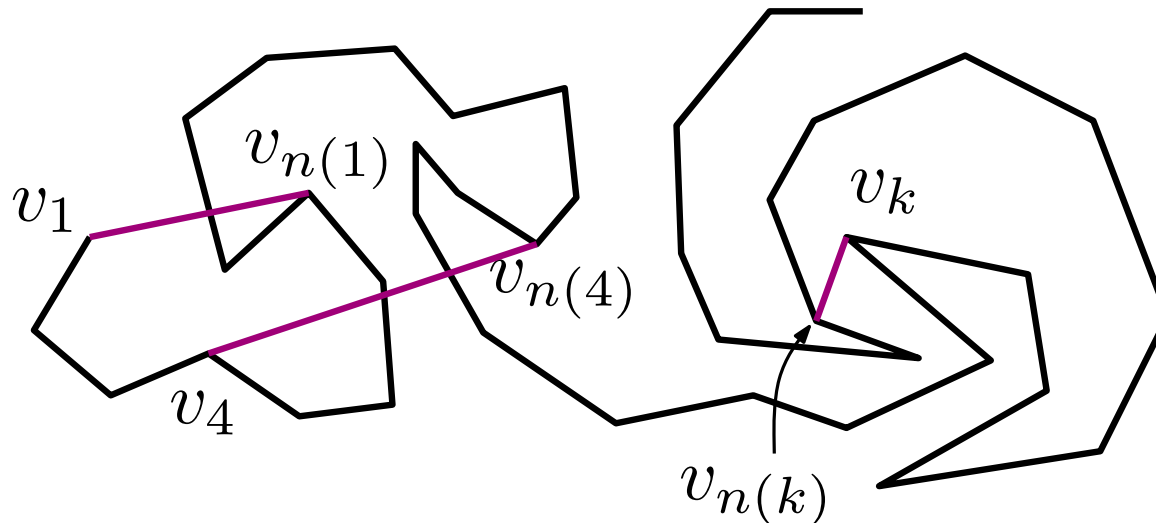
Erweiterung für beliebige Kantenzüge

Idee: finde für jeden Knoten v_i einen Endindex $n(i)$, so dass der x -monotone Algorithmus auf $C_{in(i)}$ anwendbar ist.

kritische Eigenschaften für den Algorithmus:

- θ -Monotonität der Facetten
- Strahlen schneiden Facetten in aufsteigender Reihenfolge

Bestimme maximales $n(i)$ so, dass keine Rückwärts-Tangenten und keine Kreise vorkommen.



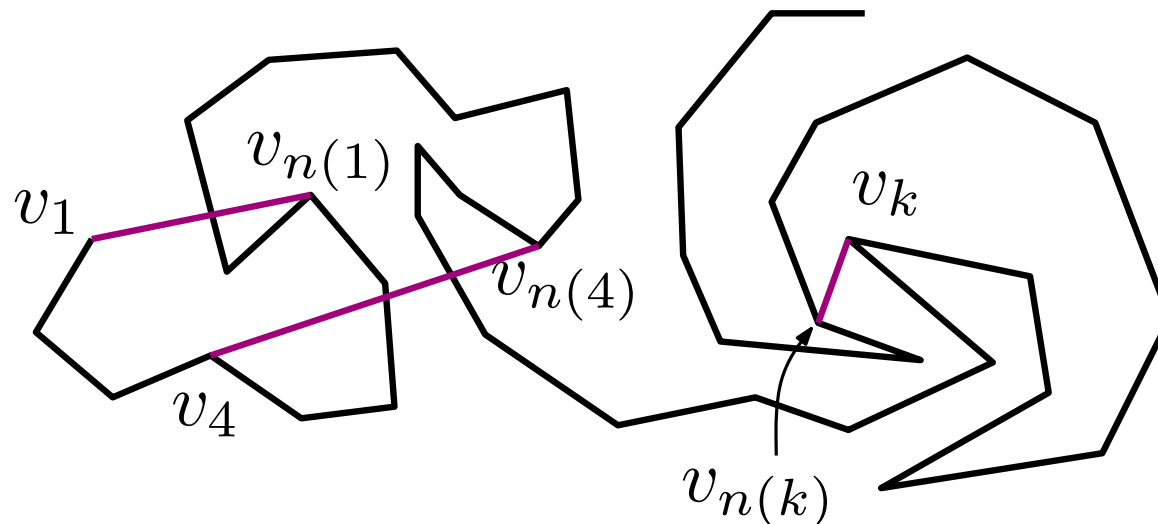
Erweiterung für beliebige Kantenzüge

Idee: finde für jeden Knoten v_i einen Endindex $n(i)$, so dass der x -monotone Algorithmus auf $C_{in(i)}$ anwendbar ist.

kritische Eigenschaften für den Algorithmus:

- θ -Monotonität der Facetten
- Strahlen schneiden Facetten in aufsteigender Reihenfolge

Bestimme maximales $n(i)$ so, dass keine Rückwärts-Tangenten und keine Kreise vorkommen.



Für $n(i) < n$ kann Minimalität der Vereinfachung nicht mehr garantiert werden!

Satz 2: Für einen einfachen Kantenzug C mit n Knoten, Menge P von m Punkten und Fehlerschranke ε kann eine einfache, konsistente Vereinfachung C' mit Fehler $\leq \varepsilon$ in Zeit $O(n(n + m) \log n)$ berechnet werden.

Satz 2: Für einen einfachen Kantenzug C mit n Knoten, Menge P von m Punkten und Fehlerschranke ε kann eine einfache, konsistente Vereinfachung C' mit Fehler $\leq \varepsilon$ in Zeit $O(n(n + m) \log n)$ berechnet werden.

Wendet man das Verfahren auf alle maximalen Pfade einer Unterteilung an, so erhält man eine konsistente Vereinfachung der Unterteilung mit Fehler $\leq \varepsilon$.

Schnitte mit dem eigenen oder anderen Kantenzügen können durch Hinzufügen deren Punkte zu P verhindert werden.

Satz 2: Für einen einfachen Kantenzug C mit n Knoten, Menge P von m Punkten und Fehlerschranke ε kann eine einfache, konsistente Vereinfachung C' mit Fehler $\leq \varepsilon$ in Zeit $O(n(n + m) \log n)$ berechnet werden.

Wendet man das Verfahren auf alle maximalen Pfade einer Unterteilung an, so erhält man eine konsistente Vereinfachung der Unterteilung mit Fehler $\leq \varepsilon$.

Schnitte mit dem eigenen oder anderen Kantenzügen können durch Hinzufügen deren Punkte zu P verhindert werden.

Bem: Lässt man die Beschränkung fallen, dass die Knoten der Vereinfachung eine Teilmenge der Eingabeknoten sein müssen, ist das Minimierungsproblem NP-schwer.

[Guibas et al. '93]